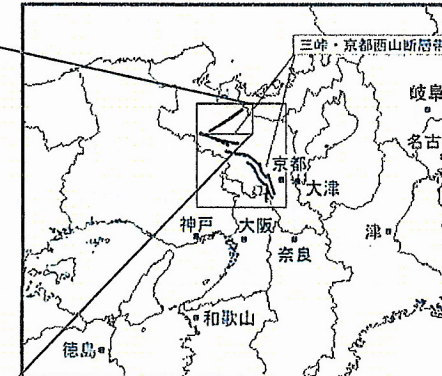
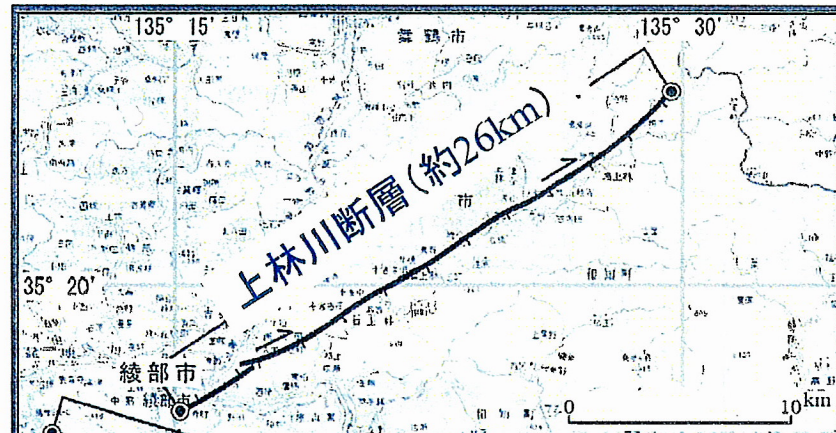


2-4 上林川断層

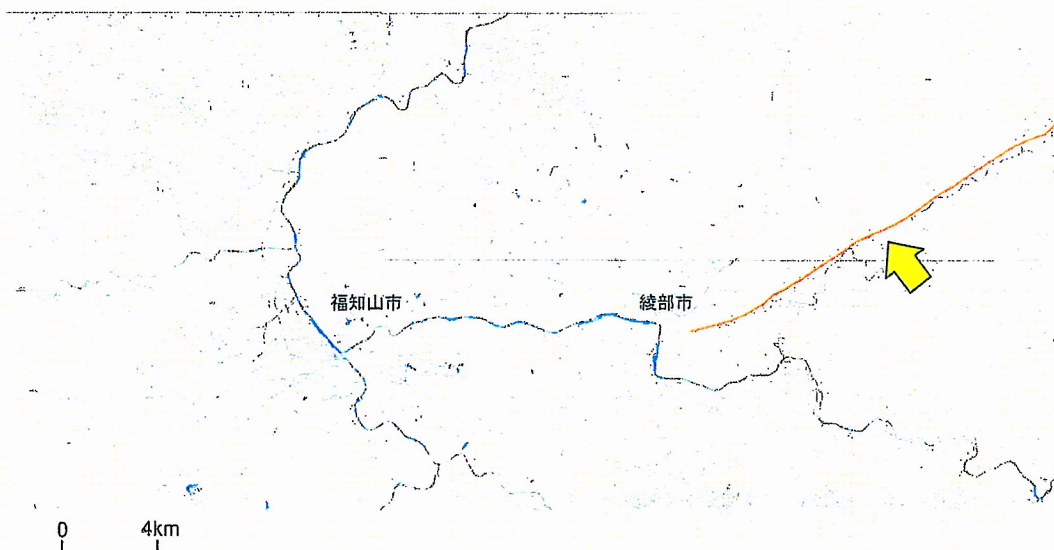
上林川断層に関する文献

地震調査研究推進本部の公表内容



三峰・京都西山断層帯・上林川断層
(平成17年2月9日公表)

中田・今泉編「活断層詳細デジタルマップ」(2002)

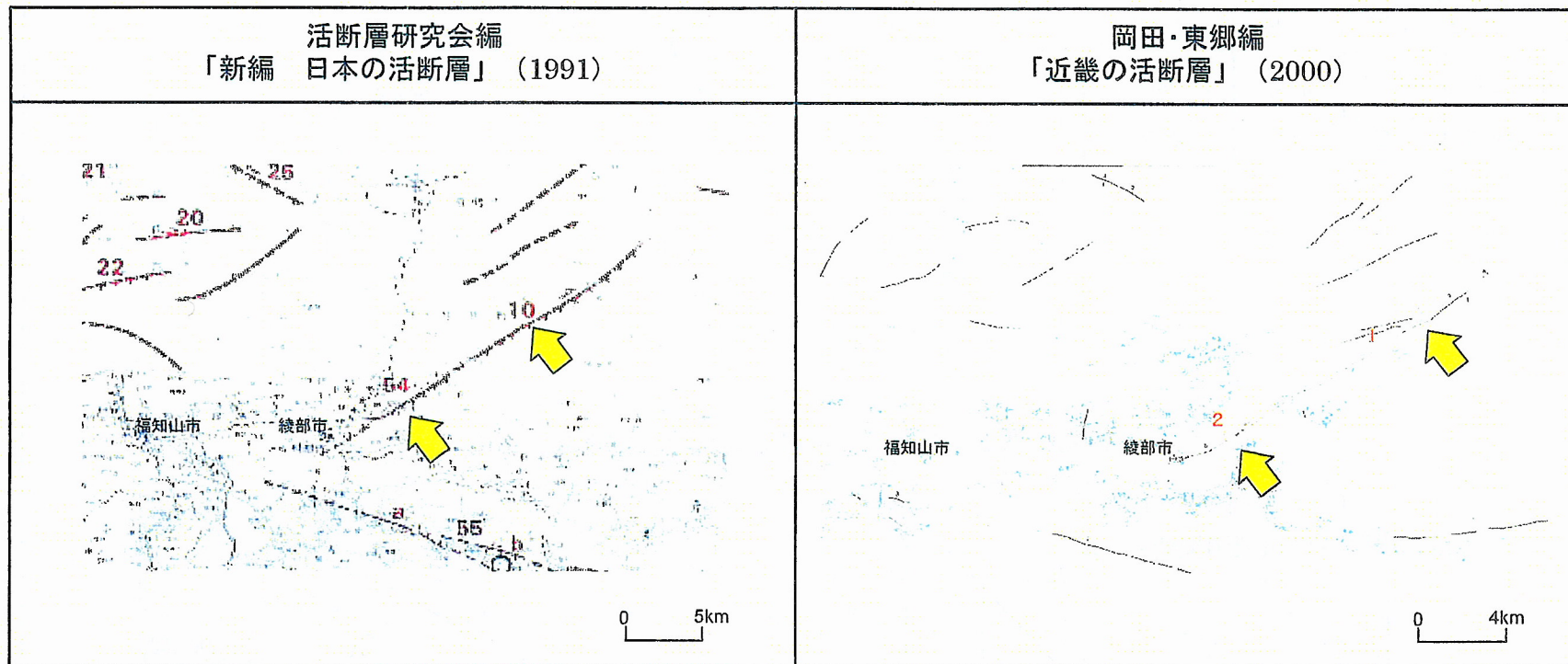


断層名	長さ	分類	変位の向き
上林川断層	20km (図説)	活断層	右横ずれ

活断層：過去に繰り返し動いてきた跡が
地形に現れ、今後も活動を繰り
返すと考えられる断層

推定活断層：地形的な特徴により活断層の存
在が推定されるが、現時点では
明確には特定できないもの

上林川断層に関する文献



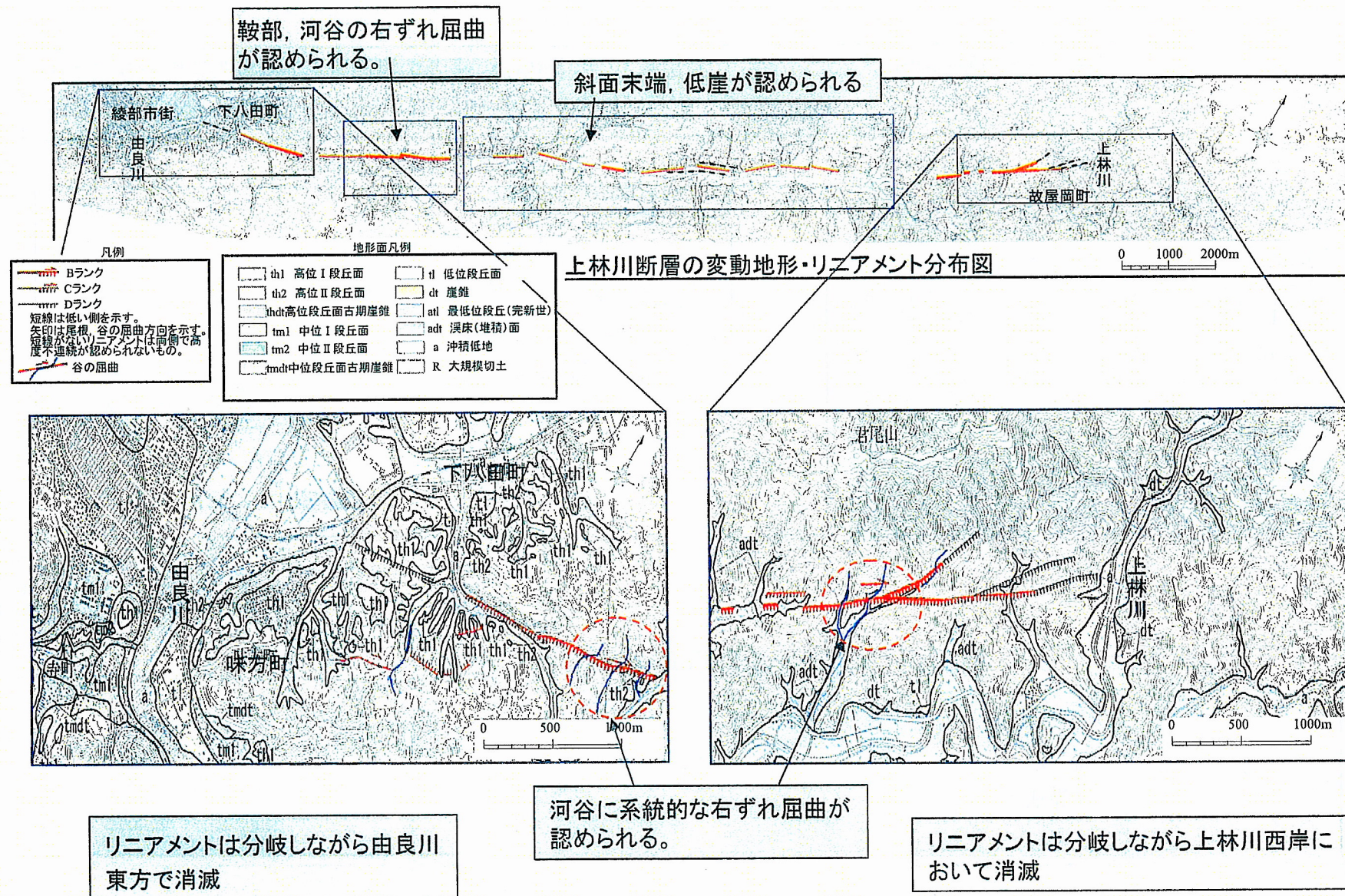
断層名	長さ	確実度	変位の向き
10 上林川断層	(15km)	II	右横ずれ 北側隆起
54 上林川断層	(6km)	I	右横ずれ 北側隆起

確実度 I : 活断層であることが確実なもの
 確実度 II : 活断層であると推定されるもの
 確実度 III : 活断層の疑いがあるリニアメント

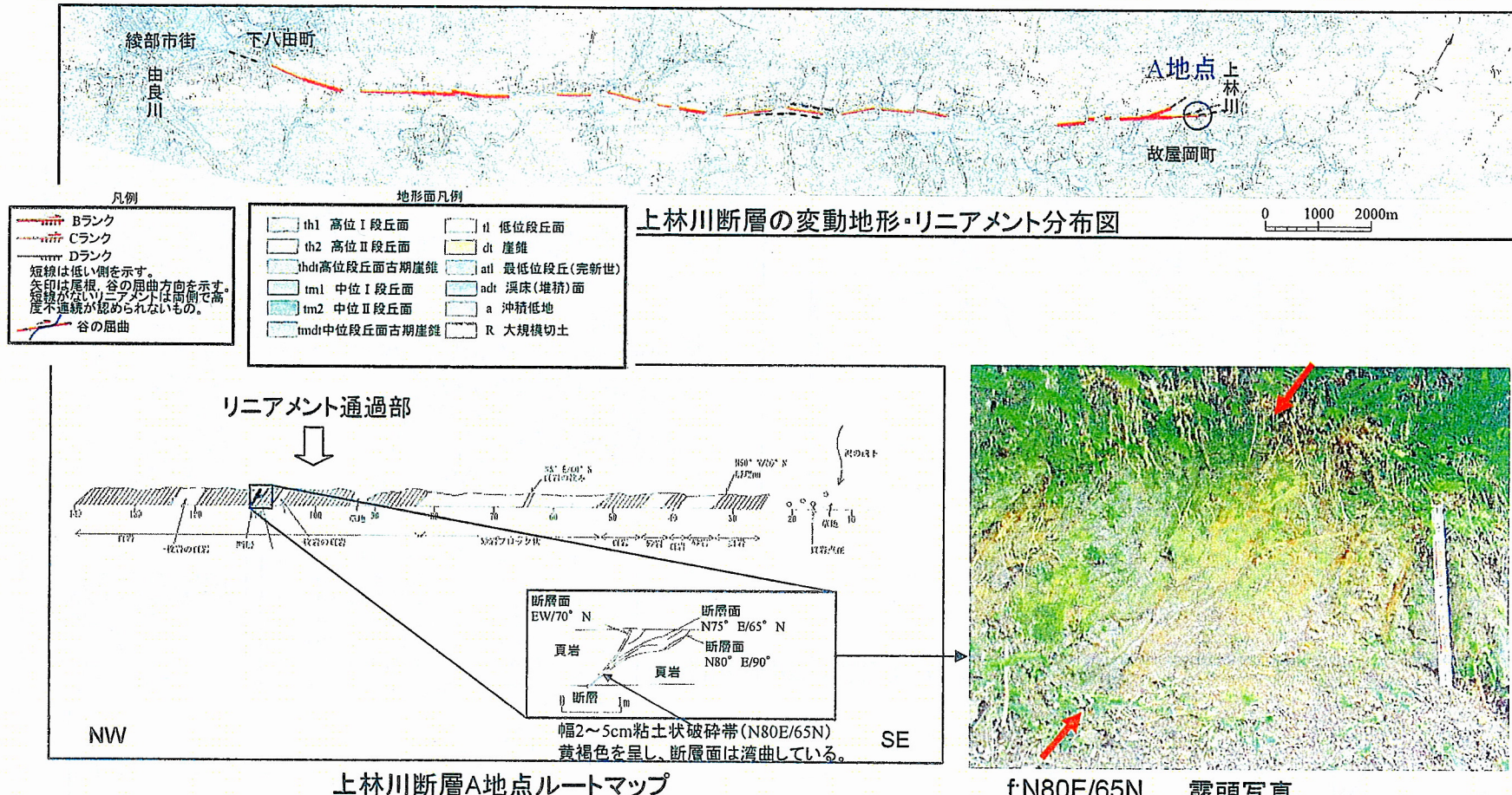
断層名	長さ	確実度	変位の向き
1 上林川断層	(12km)	I	右横ずれ
2 上林川断層	(7.5km)	I	右横ずれ 北側隆起

活断層の確実度
 確実度 I : 活断層であることが確実なもの
 確実度 II : 活断層であると推定されるもの
 断層組織地形
 連続性に富むシャープなリニアメント (L)
 主なリニアメント

上林川断層に関する地形調査結果



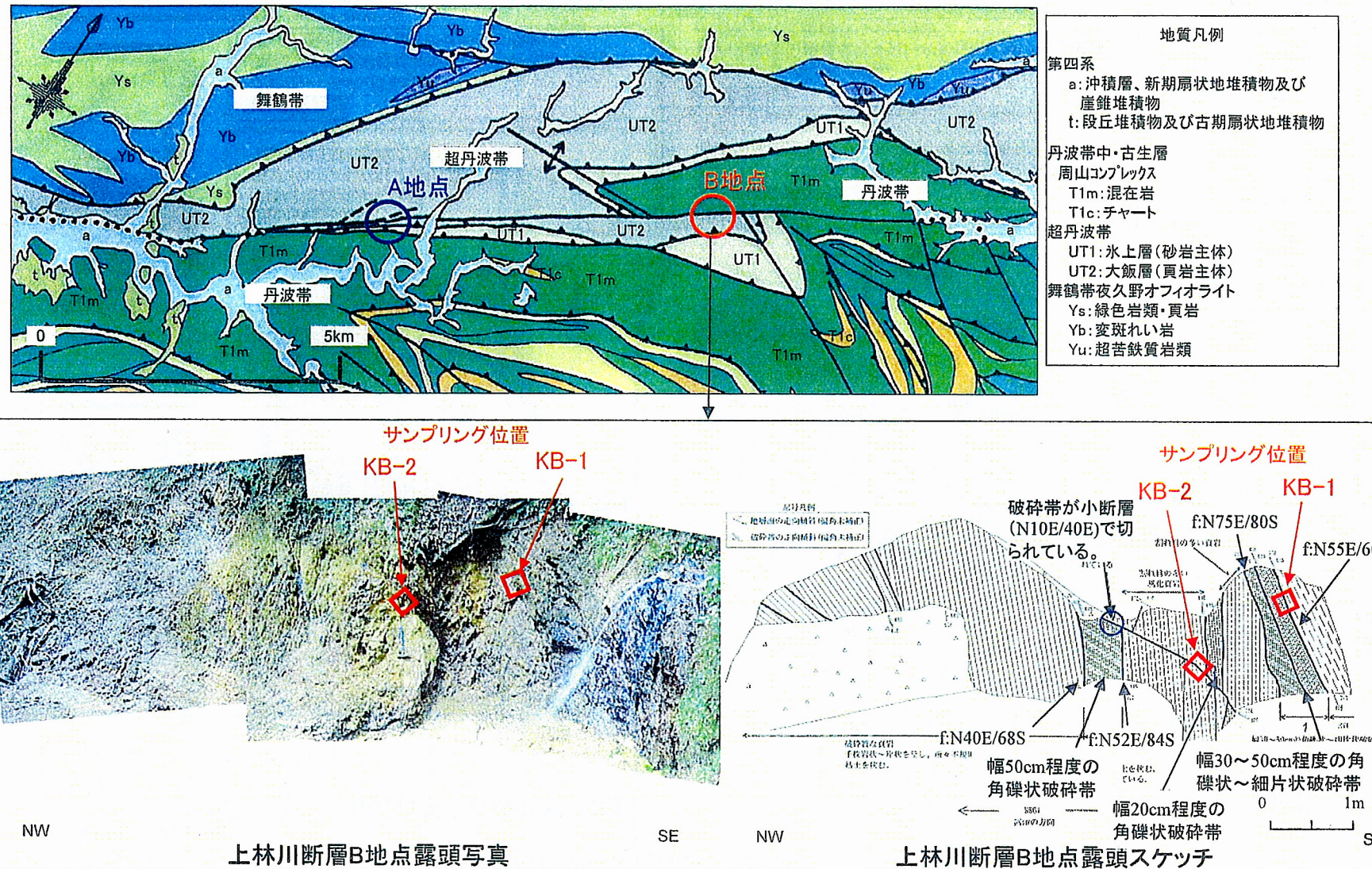
上林川断層北東端付近の地表地質調査結果(A地点)



- リニアメントを横断する約140m区間にほぼ連続した砂岩頁岩互層の露頭を確認。
- リニアメント通過部付近には小規模な断層が認められるが、断层面の方向とリニアメントの方向は斜交する。

故屋岡町付近(A地点)において、考慮対象となる活断層は存在しないことを確認。

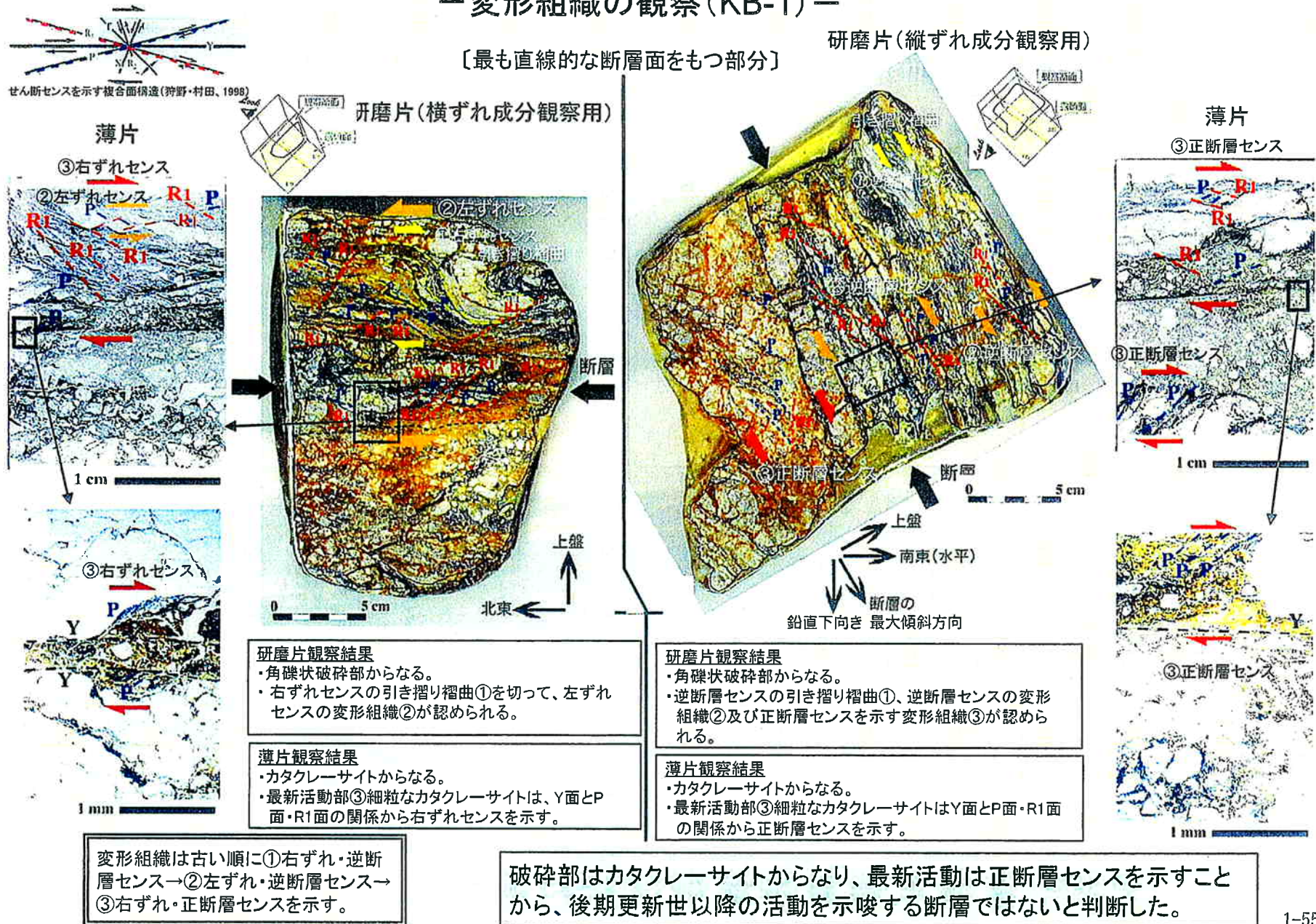
上林川断層北東端付近の地表地質調査結果(B地点)



- ・断層面は不鮮明で、断層破碎帶は角礫状から細礫状を呈し、所々に不規則に粘土を挟んでいる。
- ・破碎帶は、上林川断層の延びの方向と斜交する小断層に切られる。この小断層は白色の粘土を伴うが断層面は不鮮明。
- ・上林川断層の延びの方向と調和的な破碎帶の内、直線的な断層面を持つ部分(KB-1)と、断層破碎帶を切る小断層の部分(KB-2)の変形組織の検討。

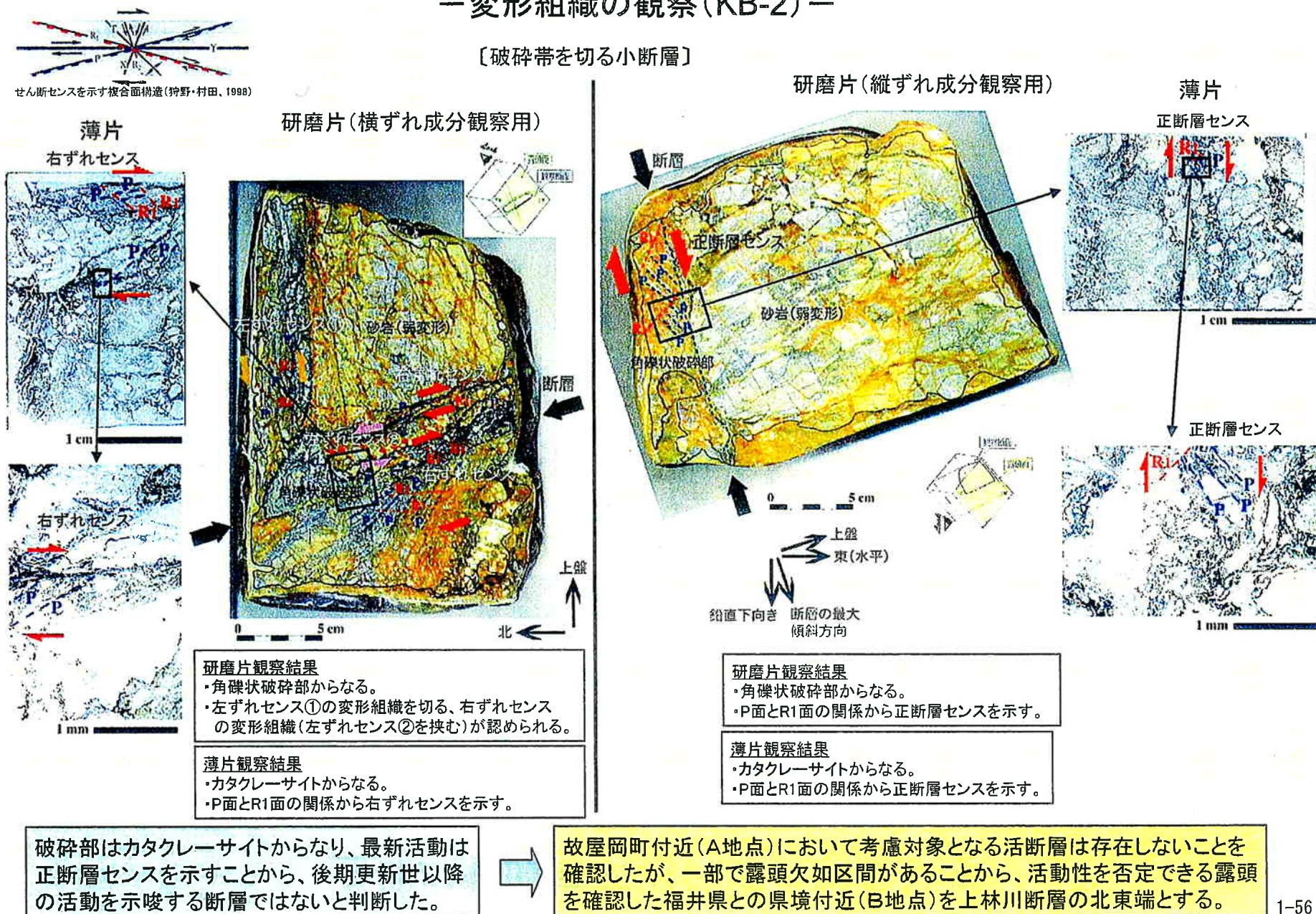
上林川断層北東端付近の地表地質調査結果(B地点)

－変形組織の観察(KB-1)－



上林川断層北東端付近の地表地質調査結果(B地点)

—変形組織の観察(KB-2)—



上林川断層南西端付近の調査結果

北側のリニアメントの周辺

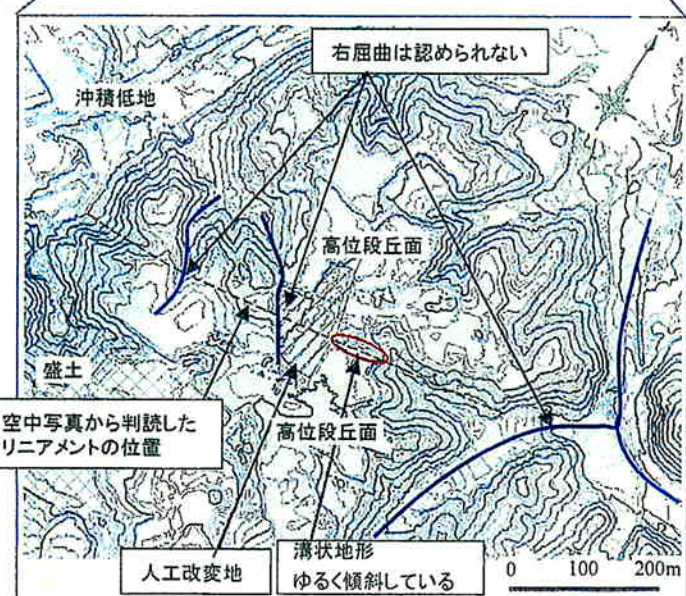


南側に分岐した
リニアメントの延長上

50~90mの河谷
の右屈曲



右屈曲は認められない

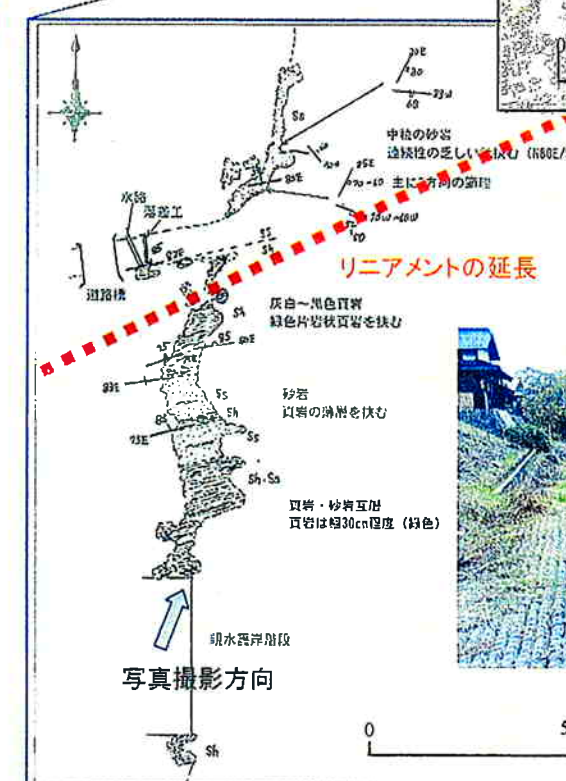


空中写真から判読した
リニアメントの位置

レーザー測量による詳細地形図

(下八田町周辺の高位段丘面拡大図)

現地調査及びレーザー測量では、高位段丘面に
右ずれ及び北側隆起の変位地形は認められない。



露頭写真

由良川川岸において約100mの頁岩の連続露頭が
存在しており、断層がないことを確認。



上林川断層は、由良川
から西方には延びない。

上林川断層の当初の評価



断層の活動性

後期更新世以降の活動あり。
(河谷や尾根に系統的な右ずれ変位が認められる。)

断層の連續性

北東端:
リニアメントは分岐しながら故屋岡町の上林川西岸において消滅し、活動的な断層も認められないことから故屋岡町までであるが、その北東にも断層露頭があることから、活動性を否定できる露頭を確認した福井県との県境付近と設定。

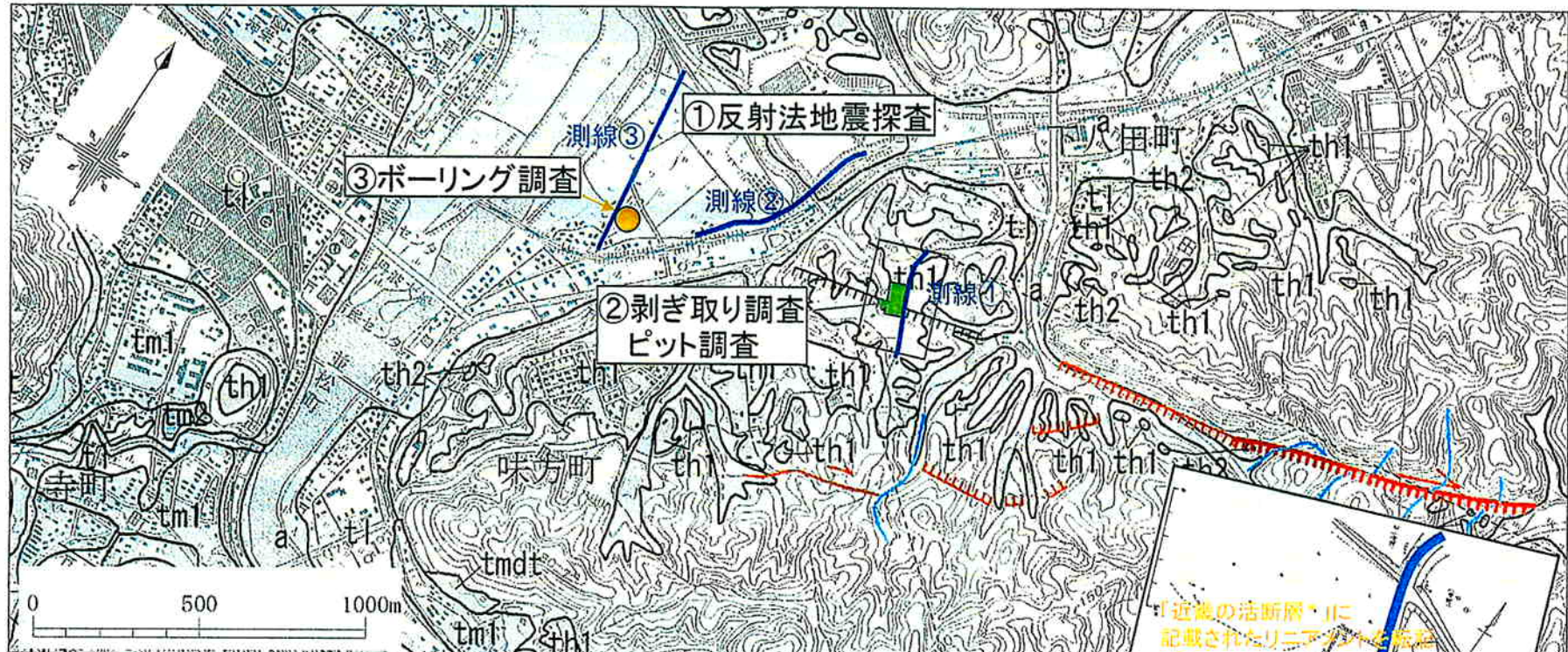
南西端:
リニアメントは分岐しながら由良川東方で消滅し、高位段丘面で右ずれや北側隆起の変位地形が認められること、南側分岐部も延長部の由良川河床部の岩盤露頭で断層が認められないことから、味方町付近と設定。

長さ約26kmの活断層
と評価

【コメント】
南西端の評価について、現在の地形は改変を受けている可能性もあるため、段丘面の変位を見る際、レーザ測量の適用には留意が必要。

上林川断層南西端付近において補足調査を実施

補足調査位置(上林川断層南西端)



凡例		地形面凡例	
Bランク	th1 高位Ⅰ段丘面	tl 低位段丘面	
Cランク	th2 高位Ⅱ段丘面	dt 崖錐	
Dランク	thd高位段丘面古期崖錐	all 最低位段丘(完新世)	
短線は低い側を示す。 矢印は尾根、谷の屈曲方向を示す。 短線がないアーチメントは局所で高 度不連続が認められないもの。	tm1 中位Ⅰ段丘面	adt 溝床(堆積)面	
谷の屈曲	tm2 中位Ⅱ段丘面	a 沖積低地	
	tdmt 中位段丘面古期崖錐	R 大規模切土	

【補足調査】

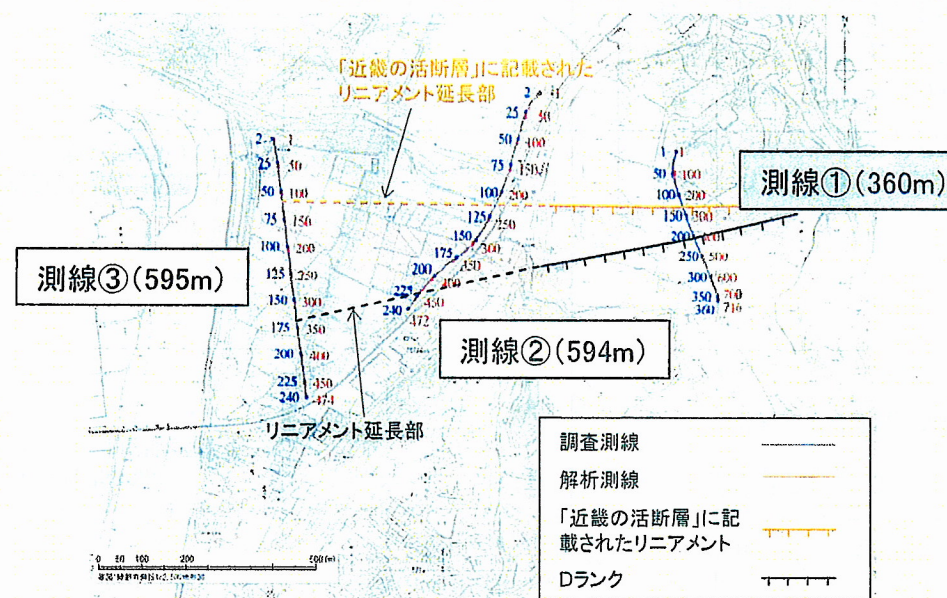
①反射法地震探査:

S波(測線①)、P波(測線②・③)

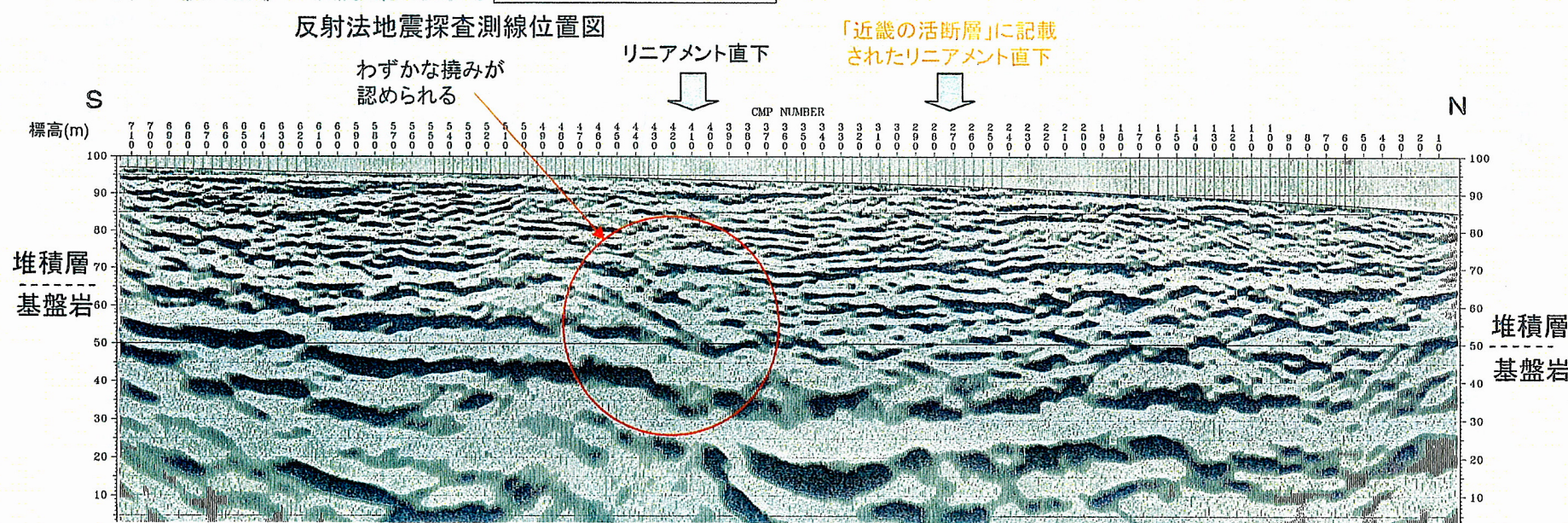
- ②剥ぎ取り調査(約50m)、ピット調査(約100m)
- ③ボーリング調査(2本)



反射法地震探査結果(上林川断層南西端)

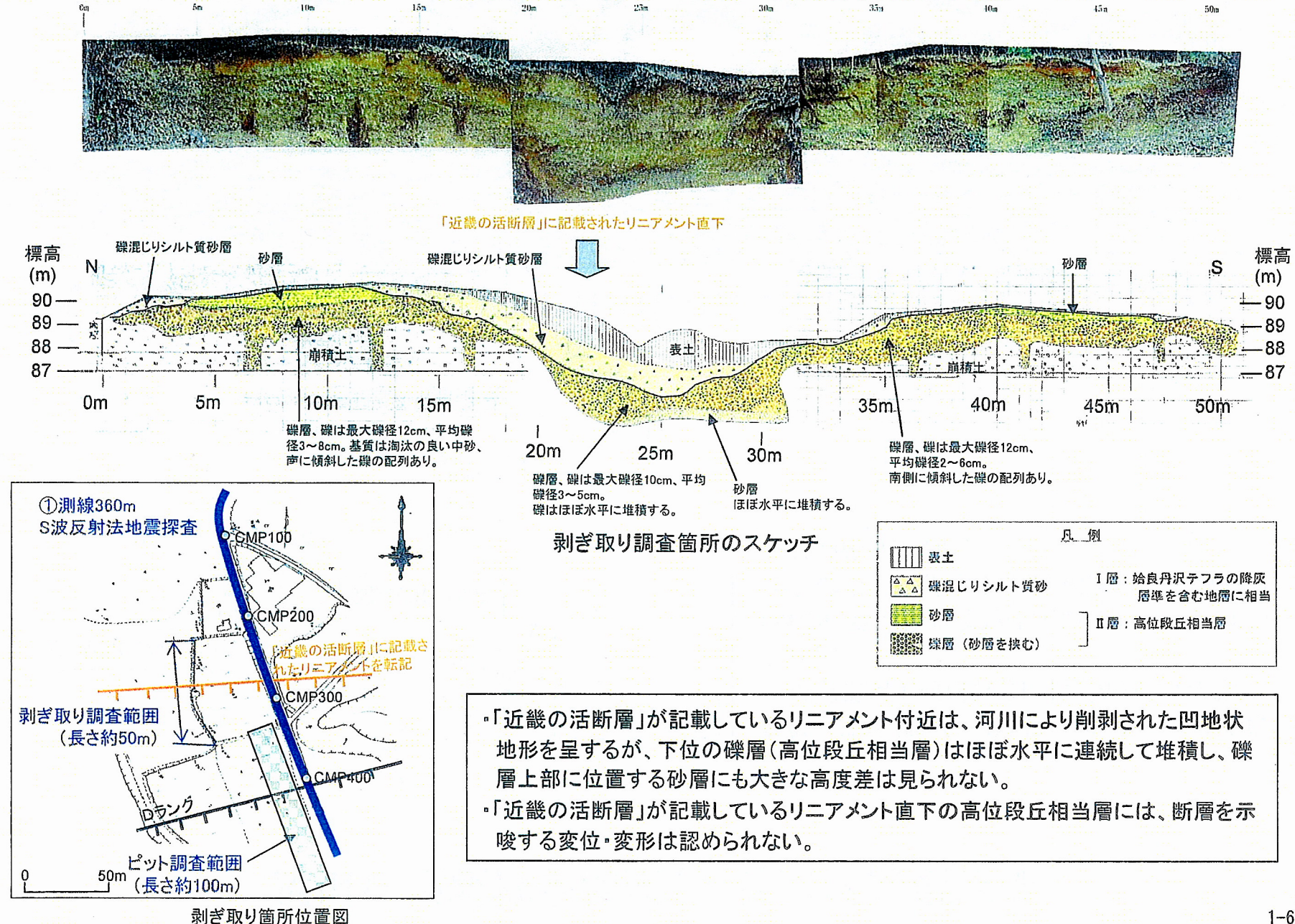


- 反射法地震探査(S波)記録から、リニアメント直下の基盤岩上面(想定)にわずかな撓みが認められる。
- 「近畿の活断層」が記載しているリニアメント直下の基盤岩上面(想定)には、断層による変位・変形は認められない。

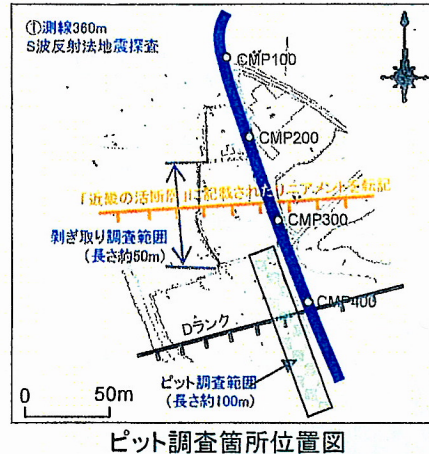


測線①反射法地震探査(S波)記録

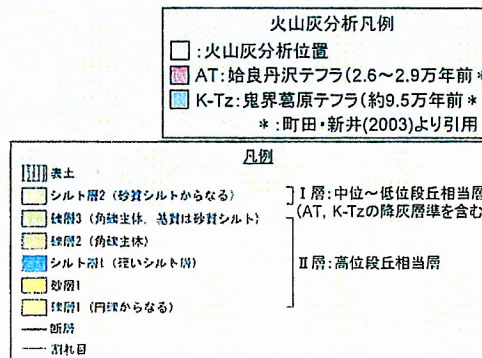
剥ぎ取り調査結果(上林川断層南西端)



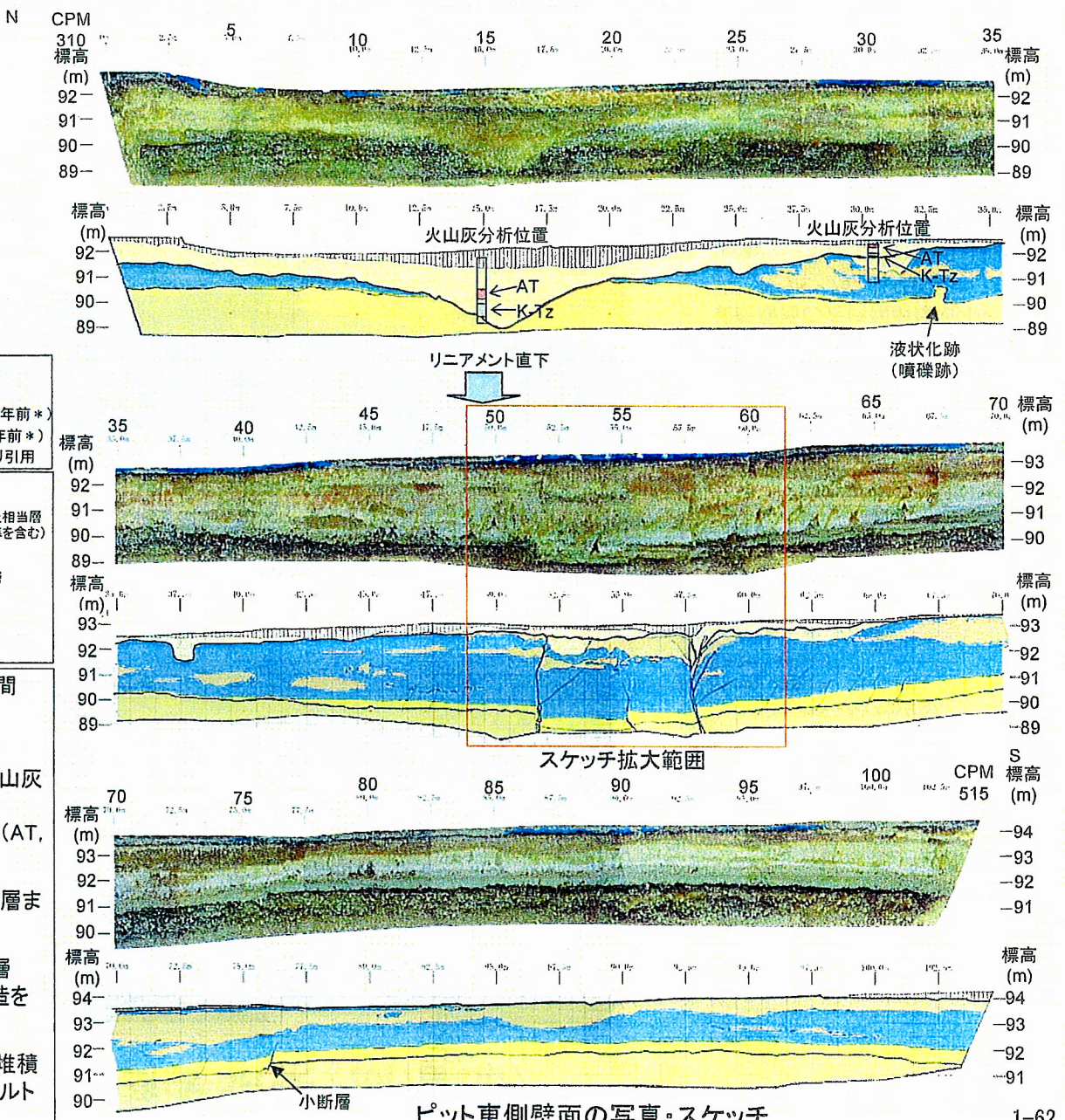
ピット調査結果(上林川断層南西端)



ピット調査箇所位置図

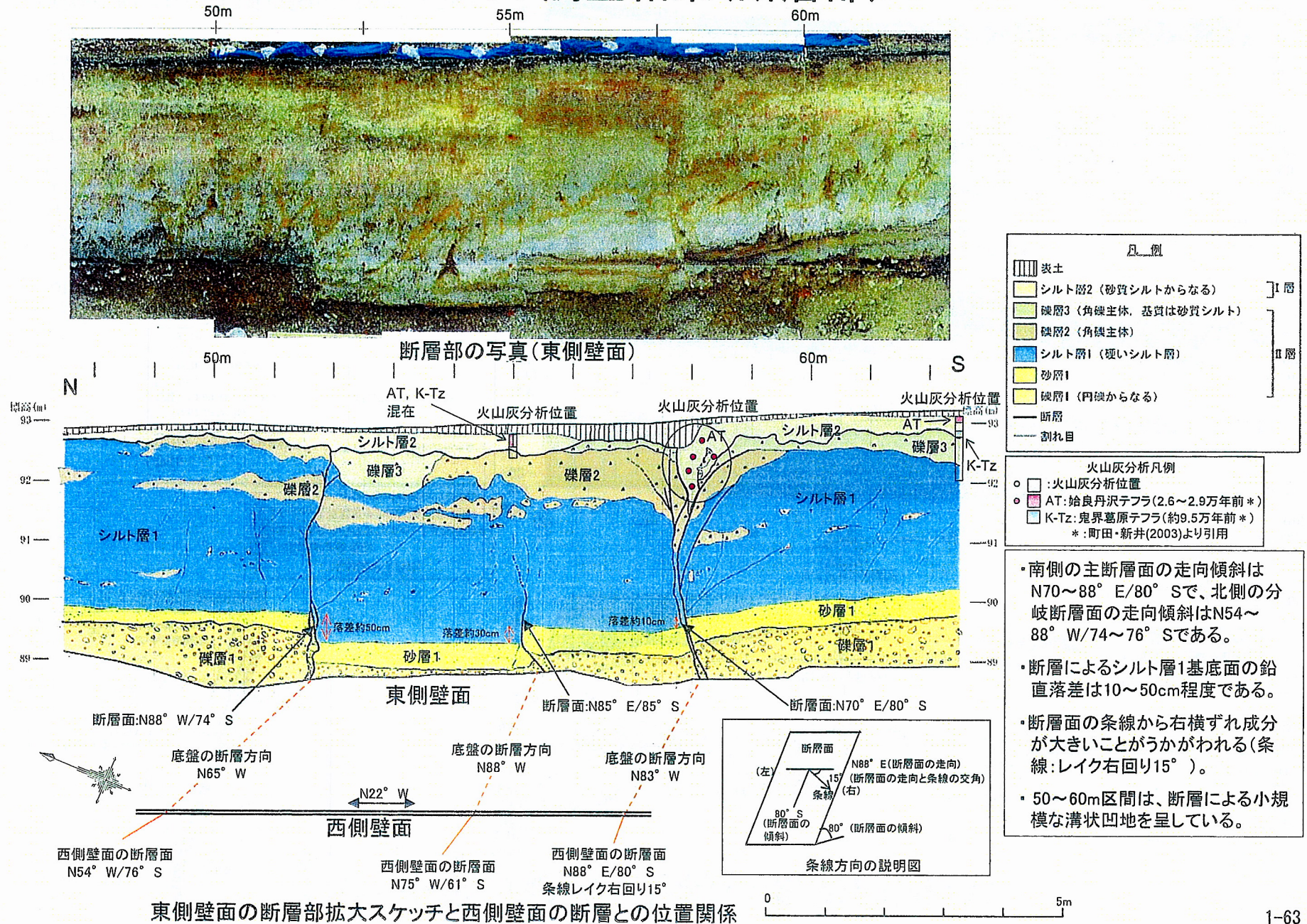


- 標高90~95m程度の高位段丘面において、約100m区間のピット調査を実施した。
- 壁面には I 層、II 層の2層が分布する。
下部の II 層は堆積物の色相や周辺露頭との対比、火山灰分析結果から高位段丘相当層と想定される。
I 層は II 層を不整合に覆い、中位～低位段丘相当層(AT, K-Tzテフラの降灰層準を含む)である。
- リニアメント直下には3条の断層があり、南の断層は I 層まで変位を与えていた(次項参照)。
- II 層の砂層1基底面及びシルト層1基底面は、共に断層の南側が北側に比べて1~2m程度隆起し、撓んだ構造を示す。
- II 層のシルト層1が断層付近で厚くなることから、II 層堆積時に断層運動があったと想定される。さらに II 層のシルト層1下部に液状化跡(32.5m地点)が認められる。

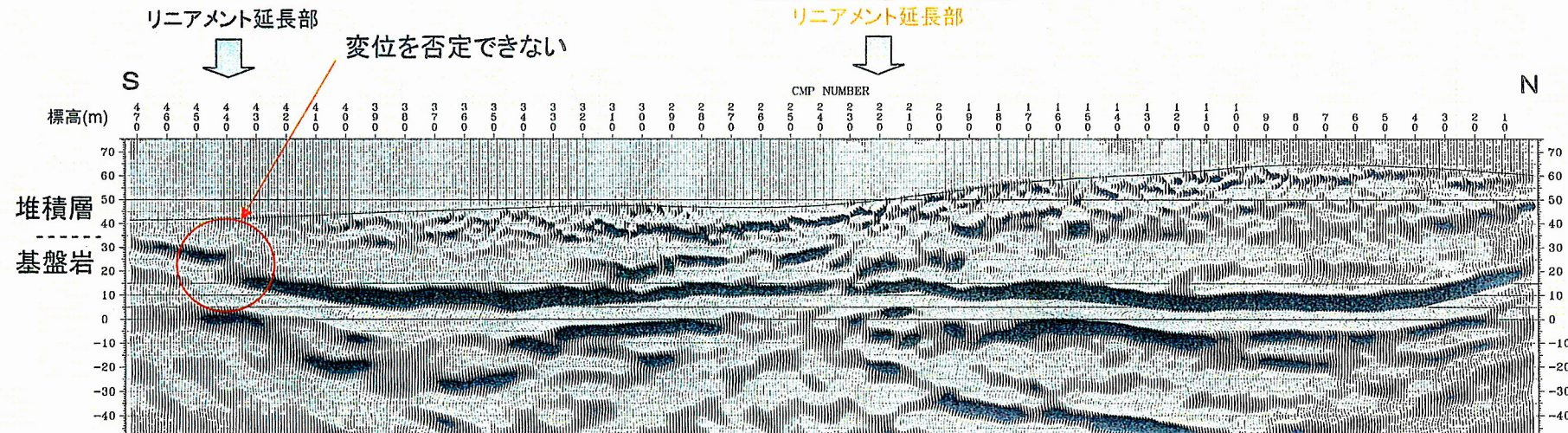
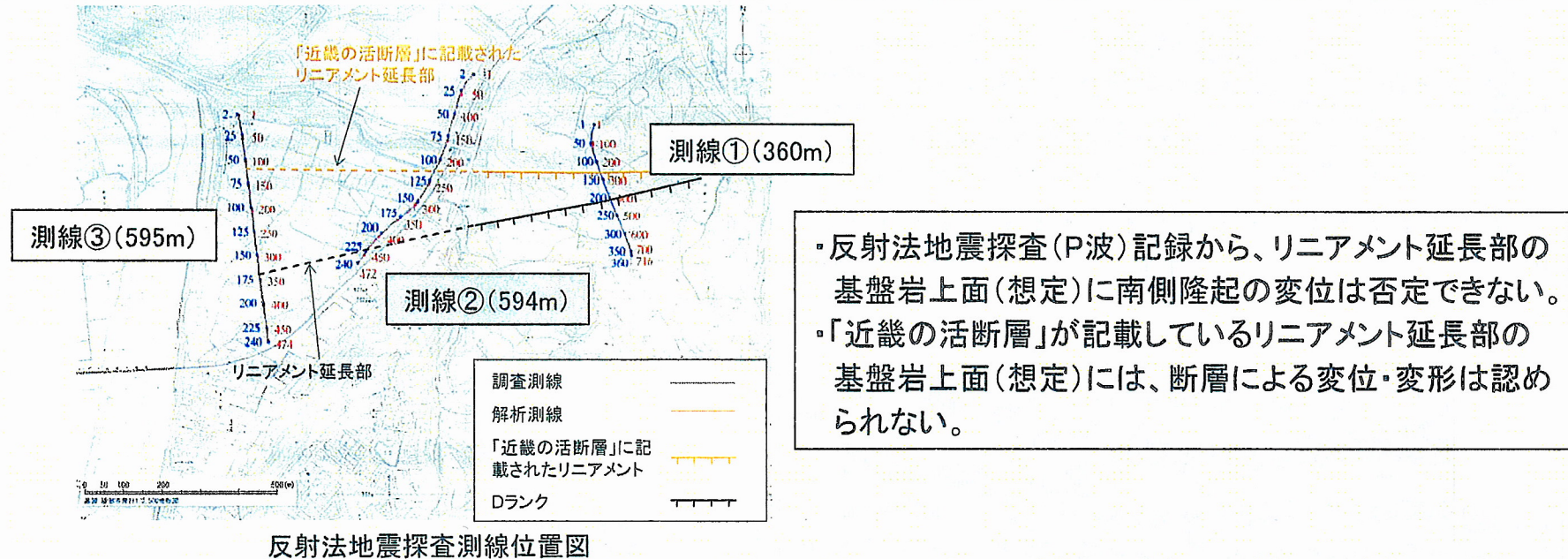


ピット東側壁面の写真・スケッチ

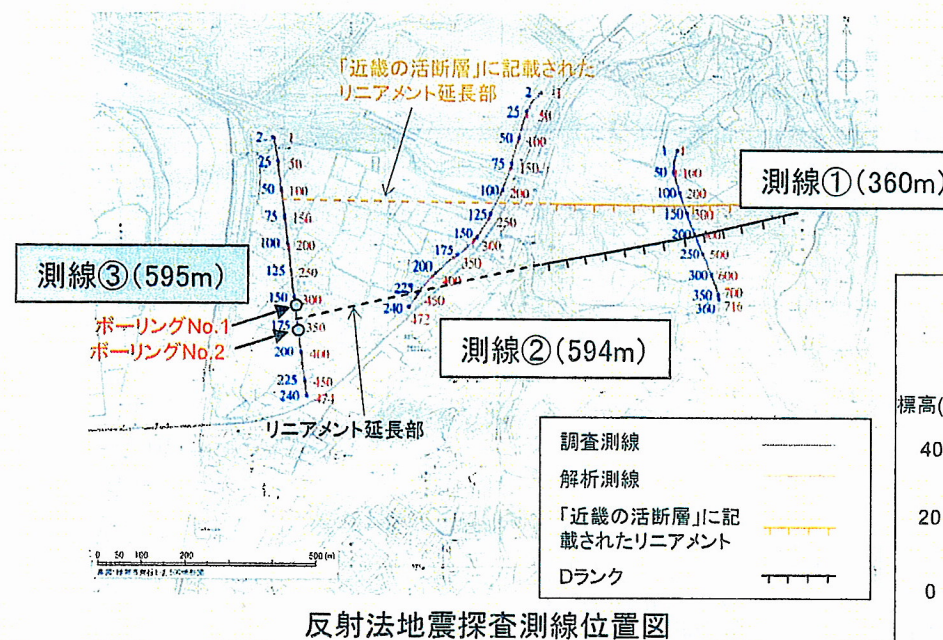
ピット調査結果(断層部)



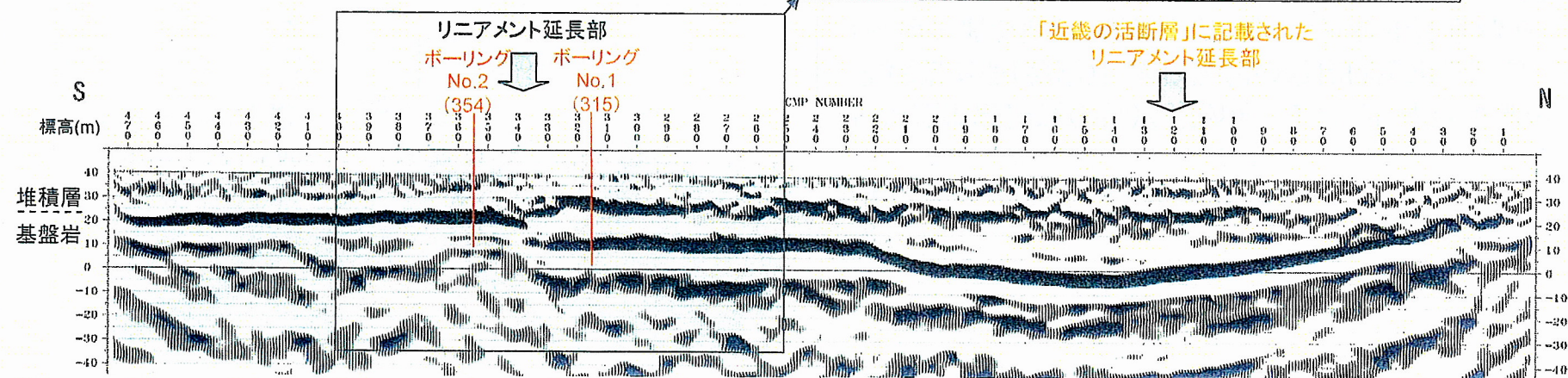
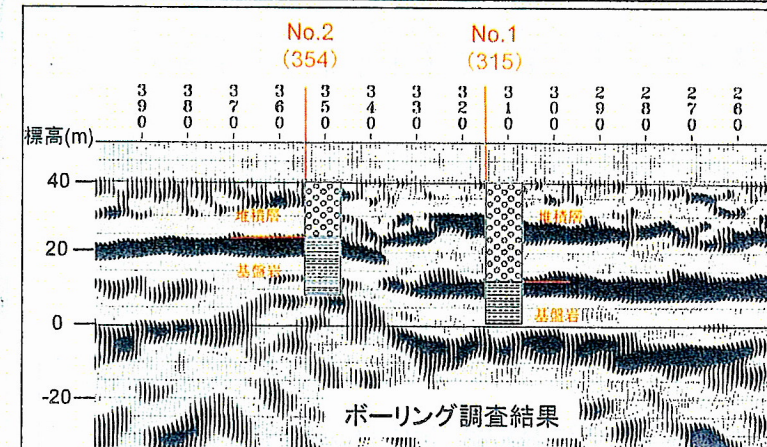
反射法地震探査結果(上林川断層南西端)



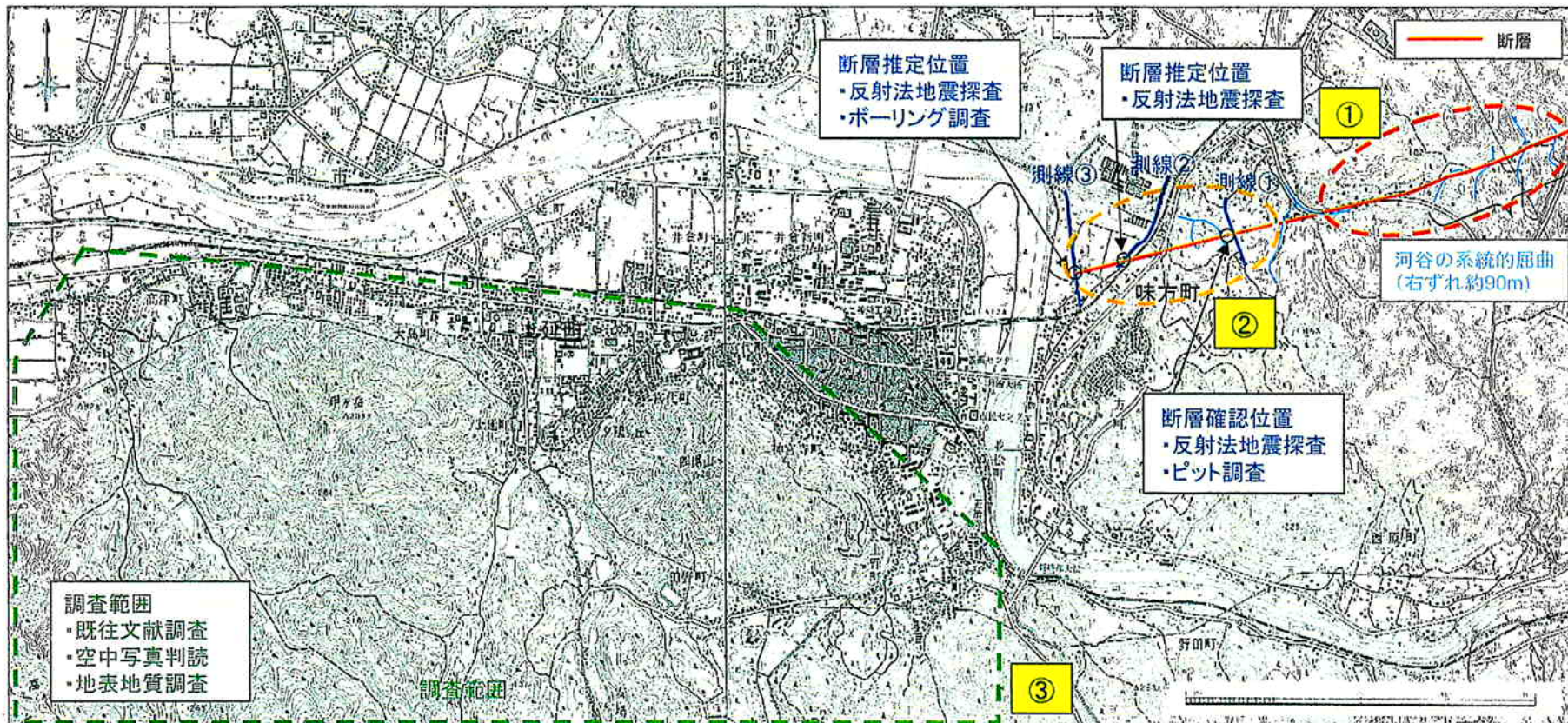
反射法地震探査結果(上林川断層南西端)



- 反射法地震探査(P波)記録から、リニアメント延長部の基盤岩上面に南側隆起の変位は否定できない。
- ボーリング調査の基盤岩上面深度は、反射法地震探査記録と整合している。
- 「近畿の活断層」が記載しているリニアメント延長部の基盤岩上面には、断層による変位・変形は認められない。



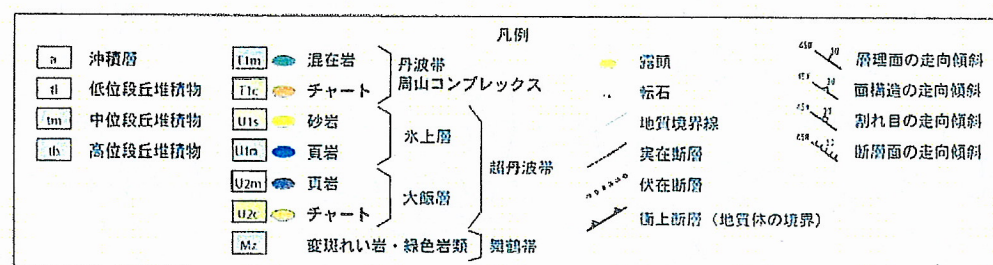
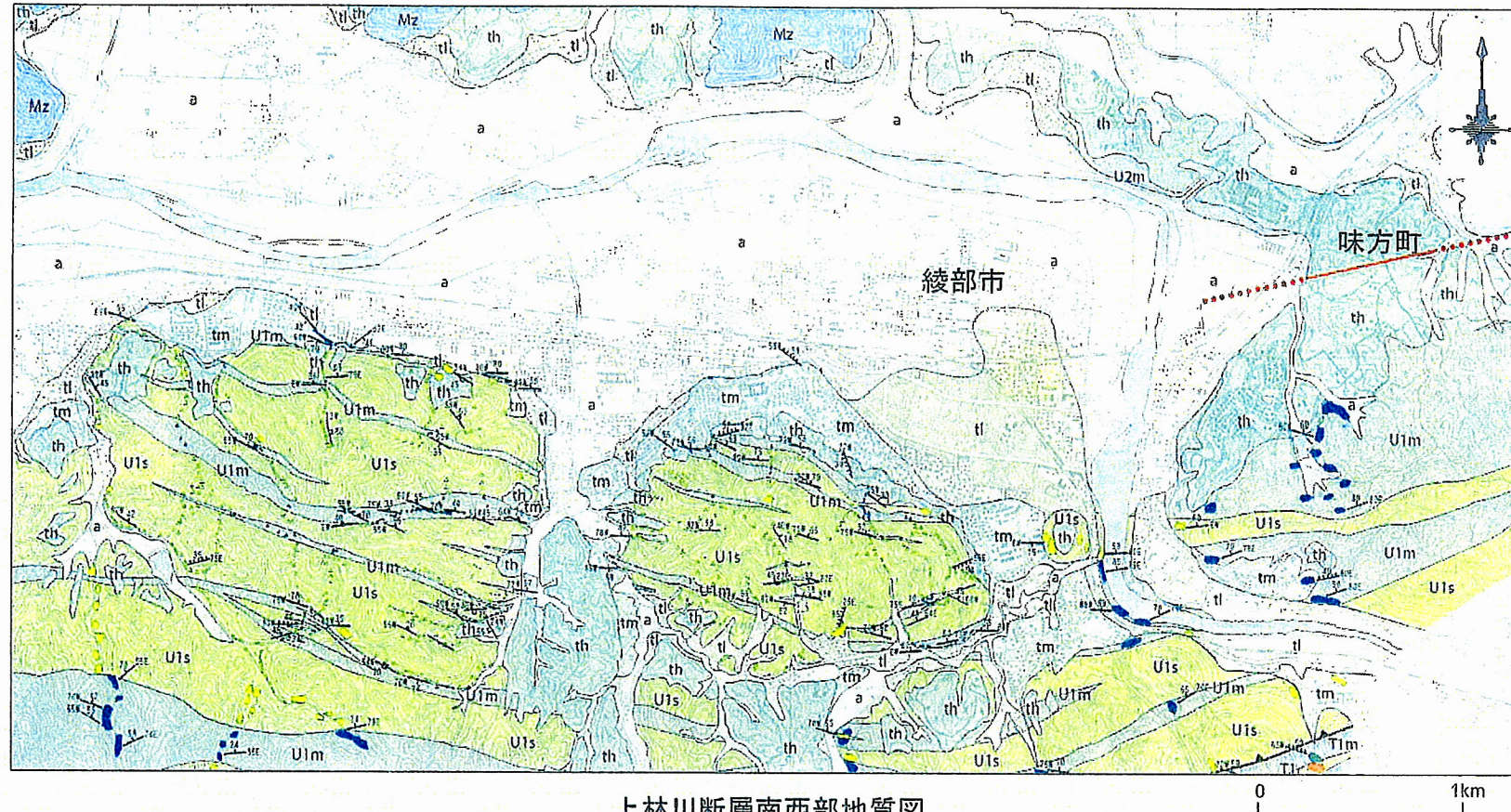
断層延長部の検討(上林川断層南西端)



- ①明瞭な変動地形(河谷の系統的屈曲)が認められるが、味方町東方で河谷の屈曲は終息する。
- ②変動地形が不明瞭な味方町付近で実施した補足調査により上林川断層を確認した。ただし、変位量は小さく、小規模な溝状凹地や南側隆起の構造を呈する。
- ③上延町付近には変動地形や超丹波帯砂岩・頁岩の分布に断層を示唆する変位が認められない。
- ④各文献に記載された南西端とも概ね整合している。

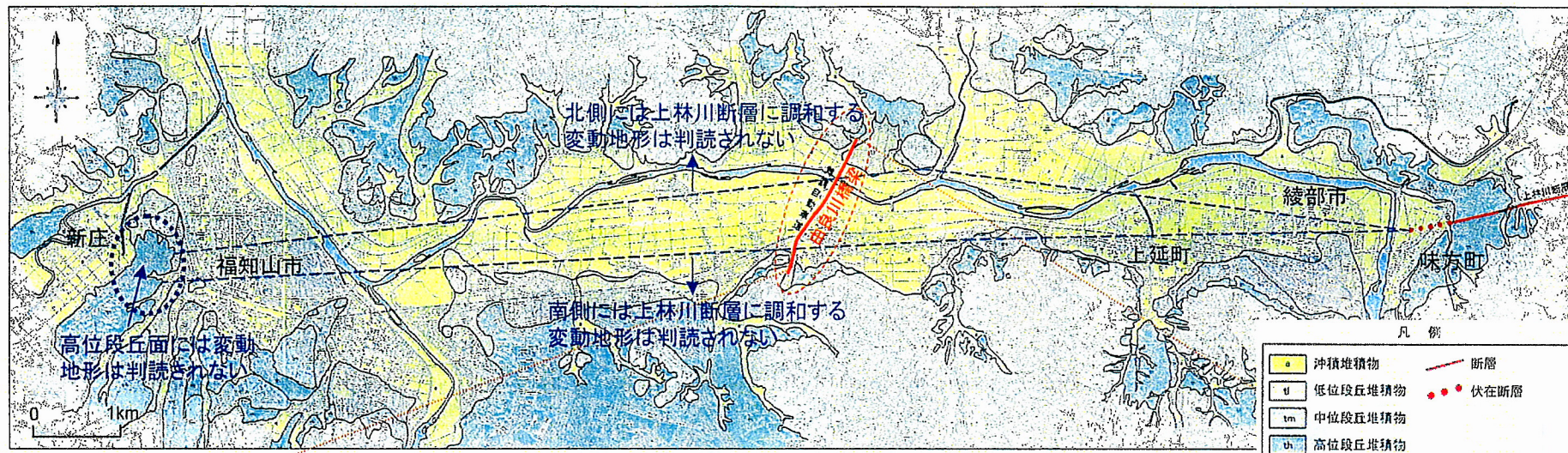
上林川断層は上延町以西へは大きく延伸するものではないと考えられるが、調査により南西端を特定することは困難であることから、断層長さを26km以上と評価する。

断層延長部の検討(上林川断層南西端)

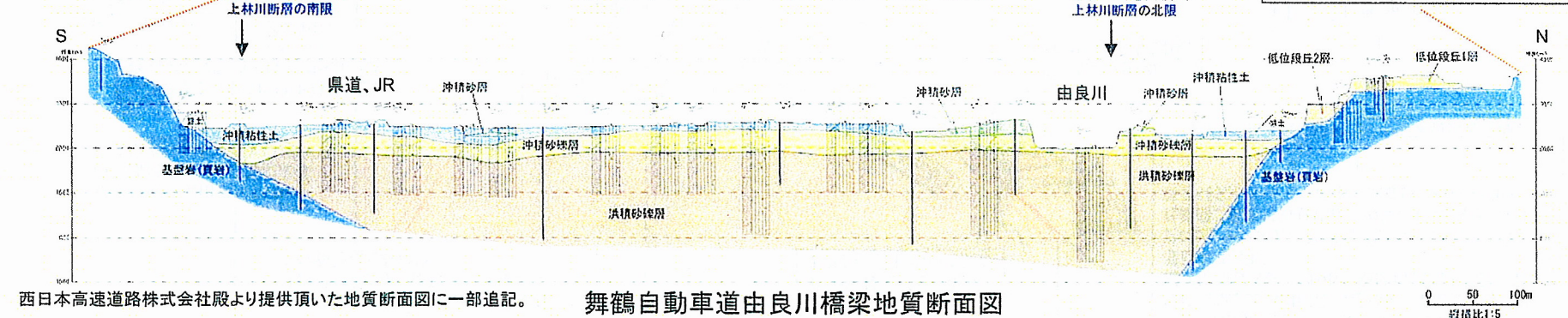


- 空中写真判読の結果、調査範囲には変動地形は認められない。
- 帯状配列する超丹波带砂岩・貞岩に断層を示唆する大きな変位は認められない。

地震動評価上の上林川断層南西端



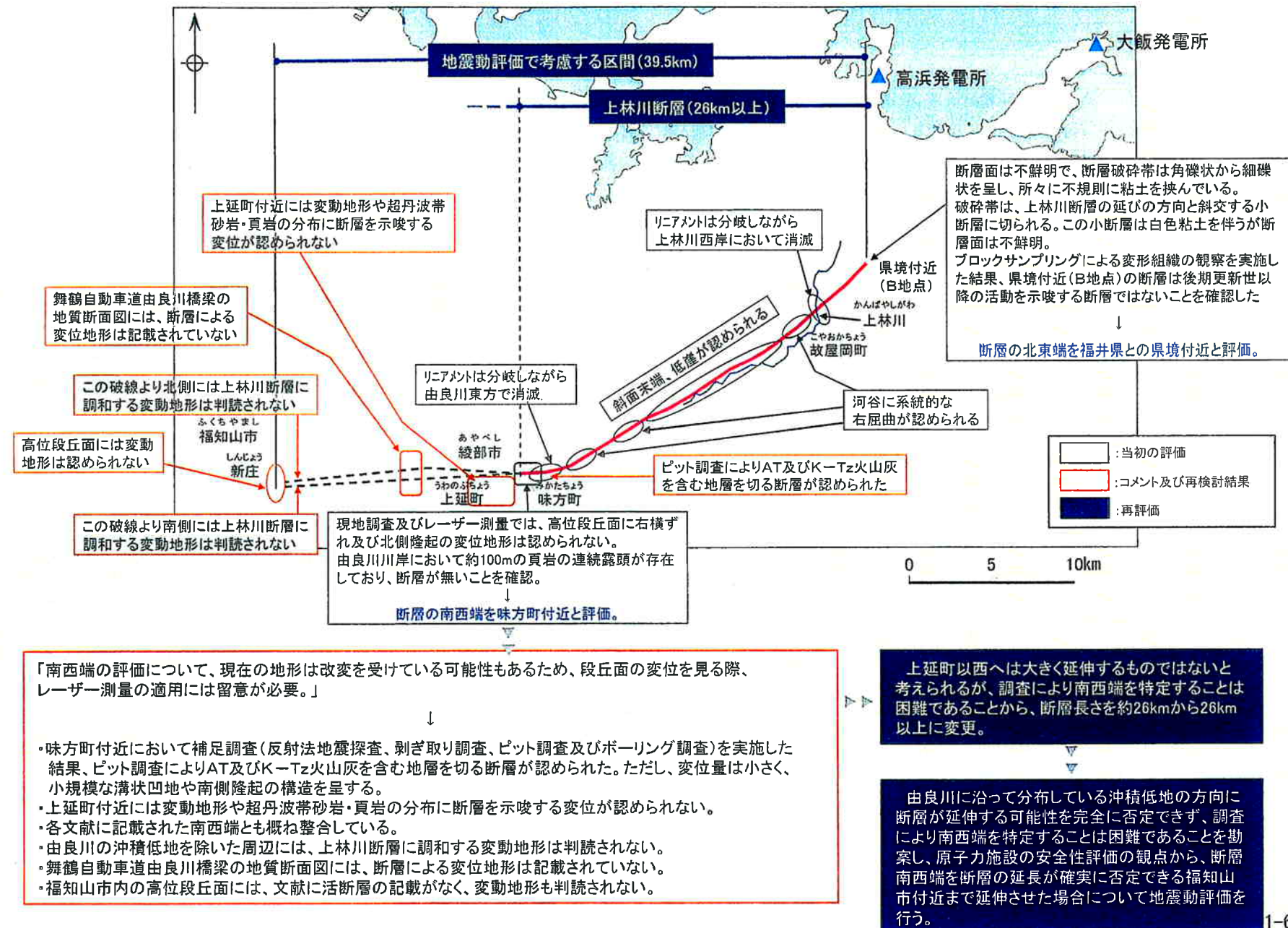
福知山市—綾部市間 第四系分布図



- ・由良川の沖積低地を除いた周辺には、上林川断層に調和する変動地形は判読されない。
- ・舞鶴自動車道由良川橋梁の地質断面図には、断層による変位変形は記載されていない。
- ・福知山市内の高位段丘面には、文献に活断層の記載がなく、変動地形も判読されない。

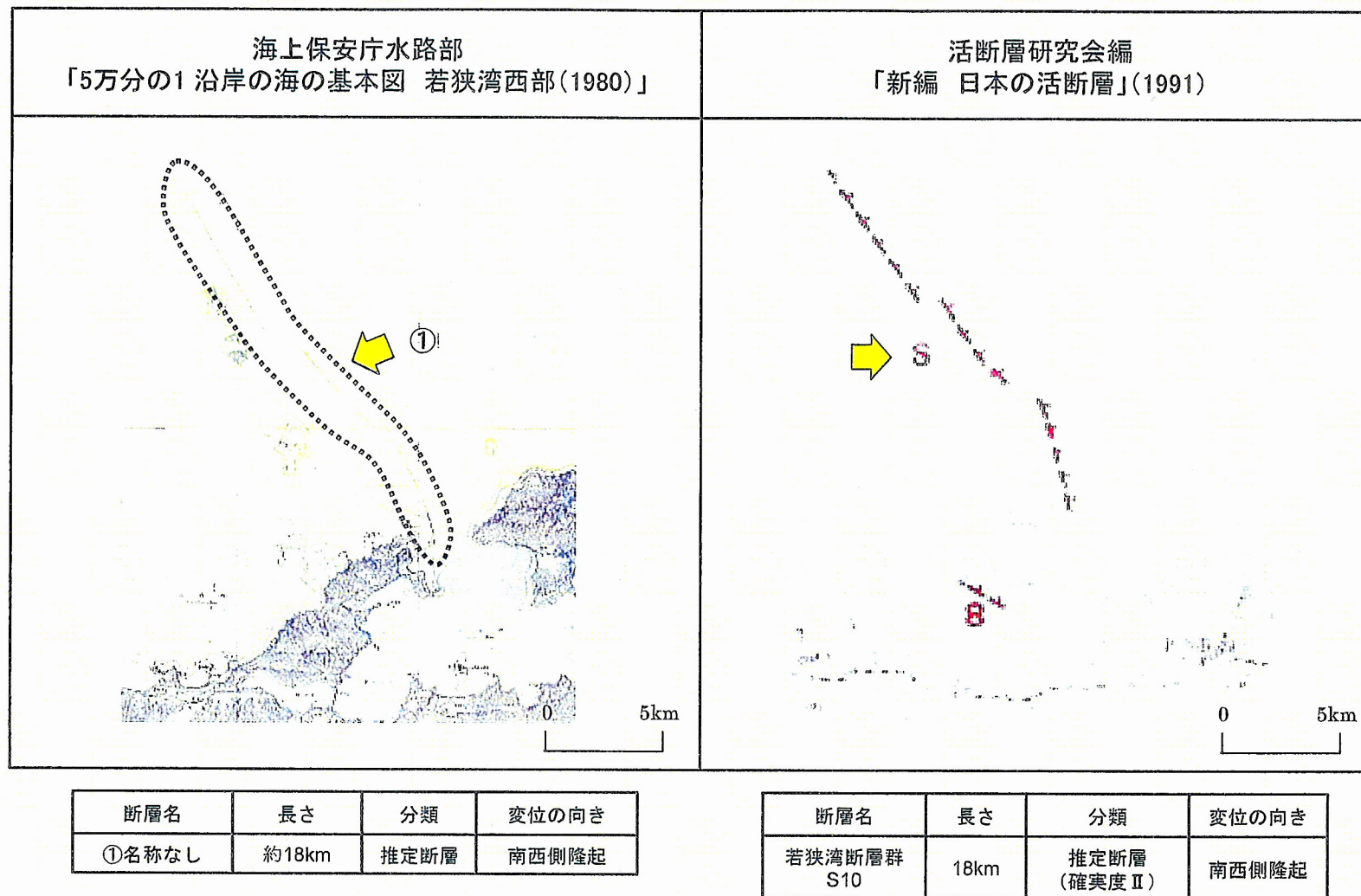
由良川に沿って分布している沖積低地の方向へ断層が延伸する可能性を完全に否定できず、調査により南西端を特定することが困難であることを勘案し、原子力施設の安全評価の観点から、念のため断層南西端を福知山市付近まで延伸させた場合について地震動評価を行う。

上林川断層の評価の概要



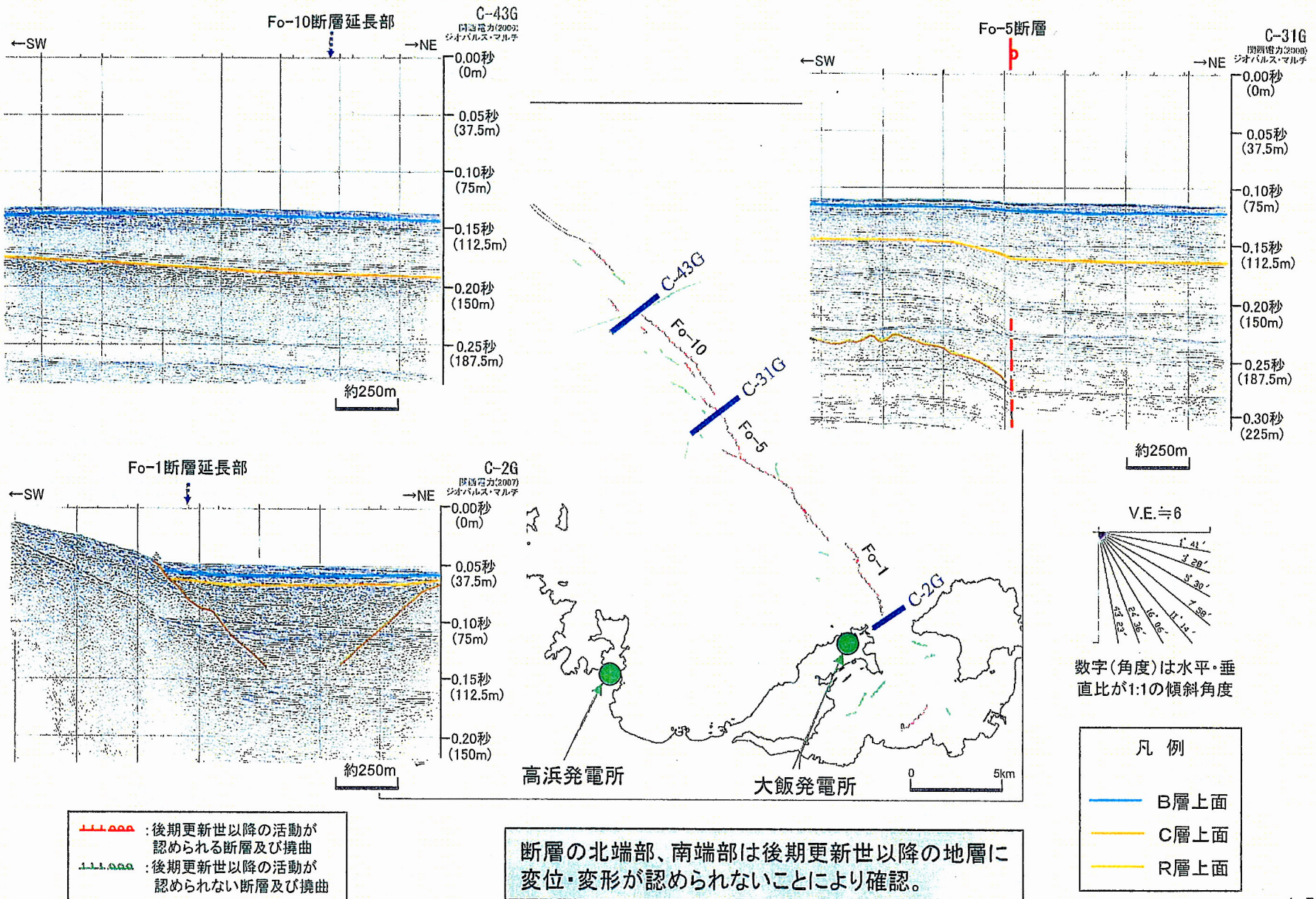
2-5 FO-A断層、FO-B断層、FO-C断層

FO-A断層に関する文献調査結果

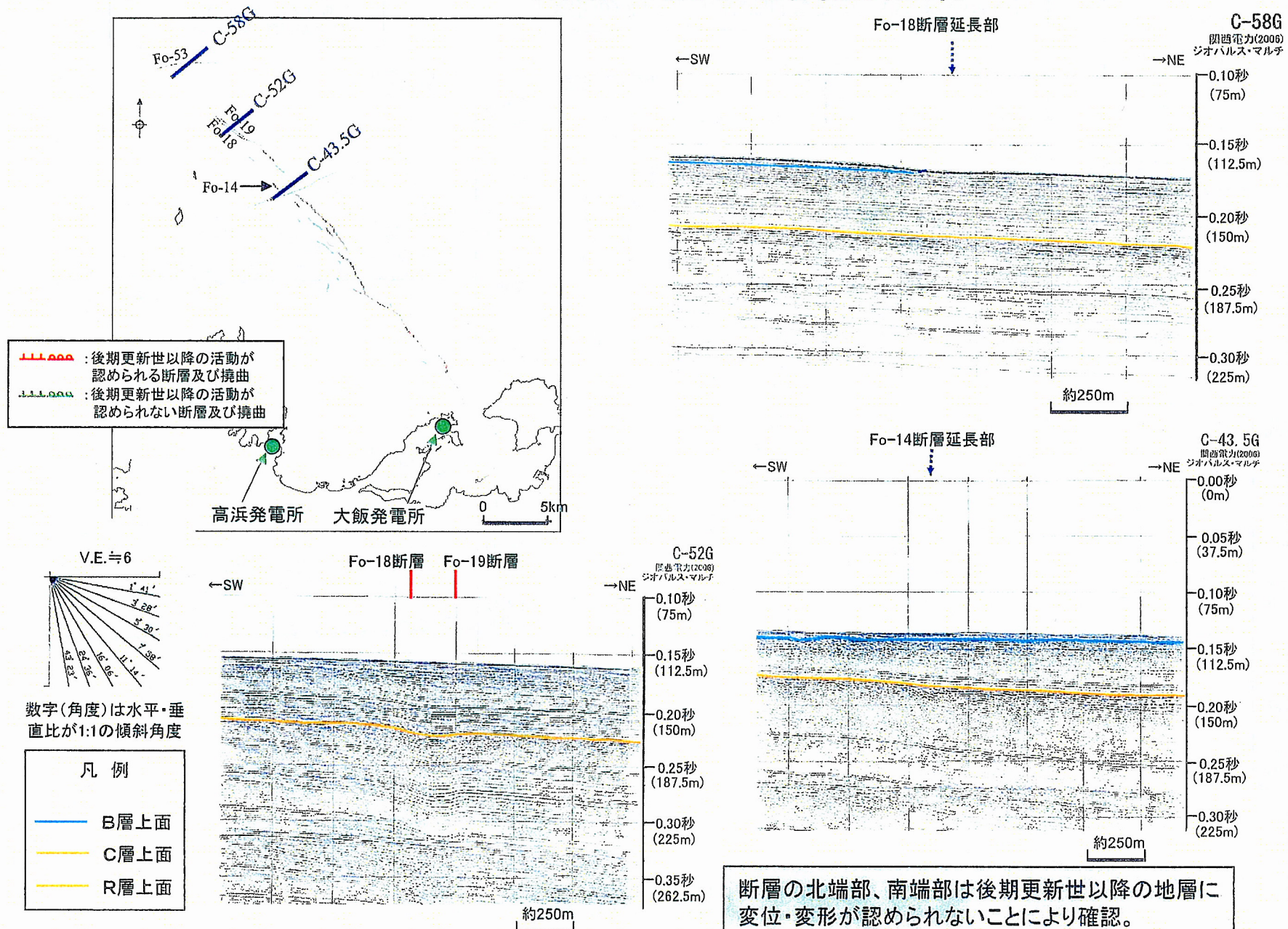


確実度 I : 活断層であることが確実なもの
確実度 II : 活断層であると推定されるもの
確実度 III : 活断層の疑いがあるリニアメント

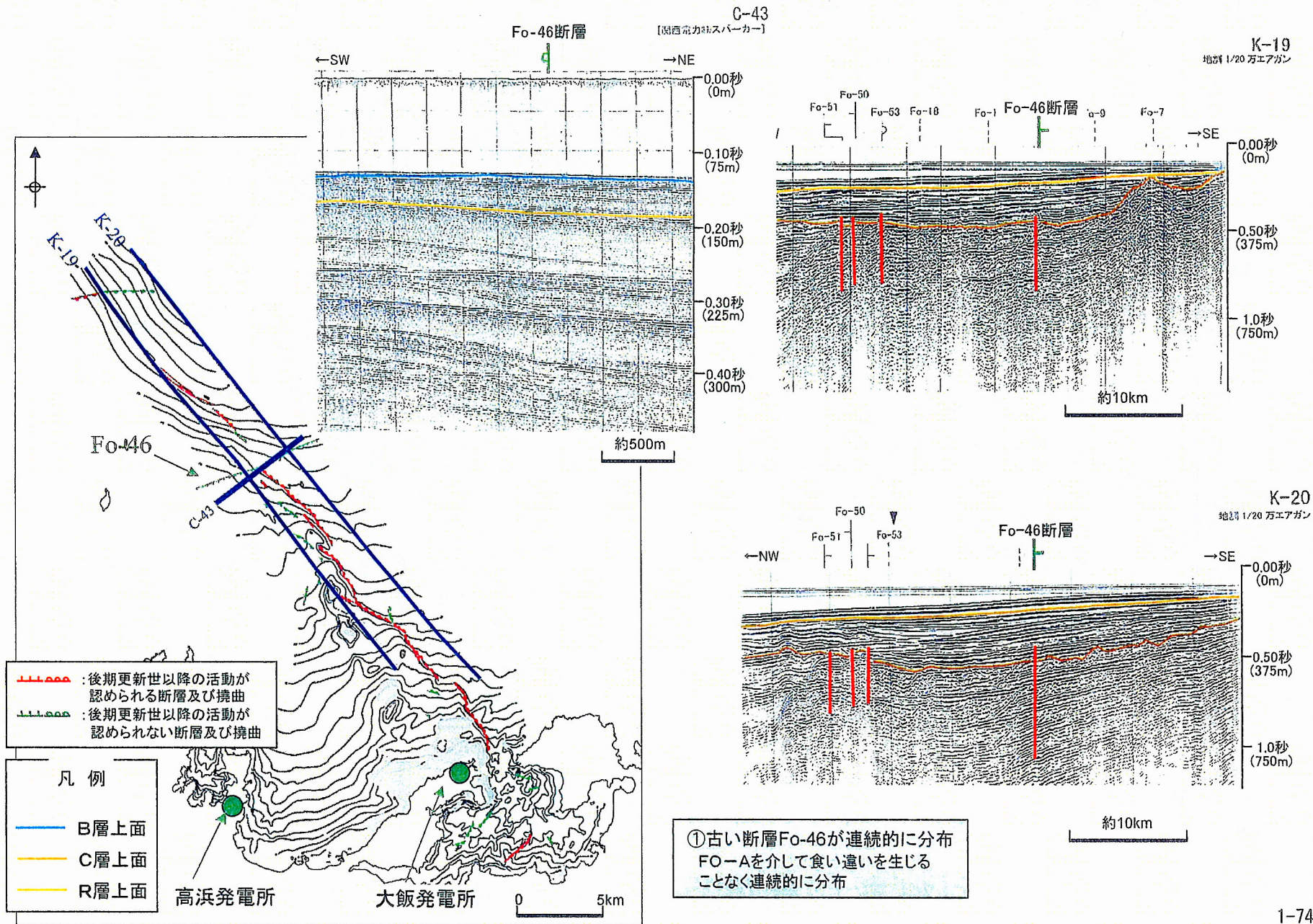
FO-A断層に関する調査結果



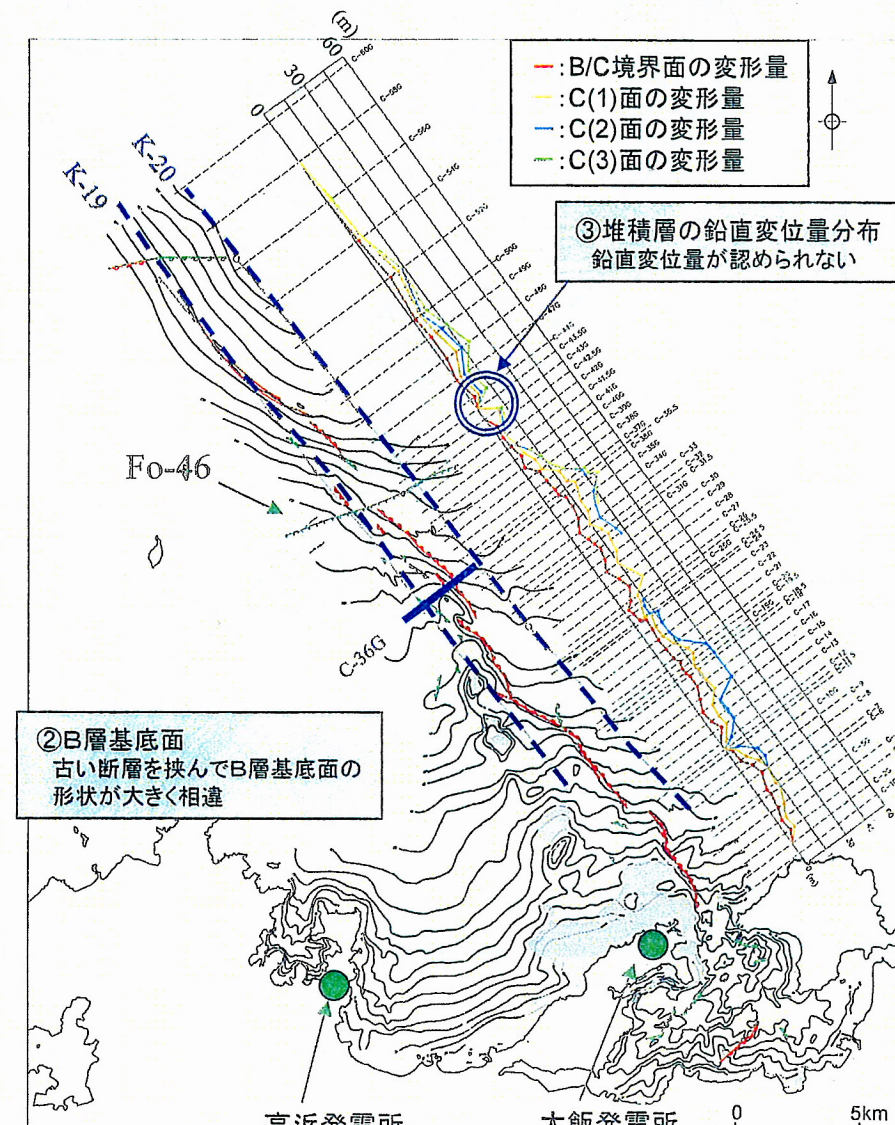
FO-B断層に関する調査結果



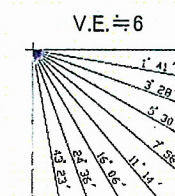
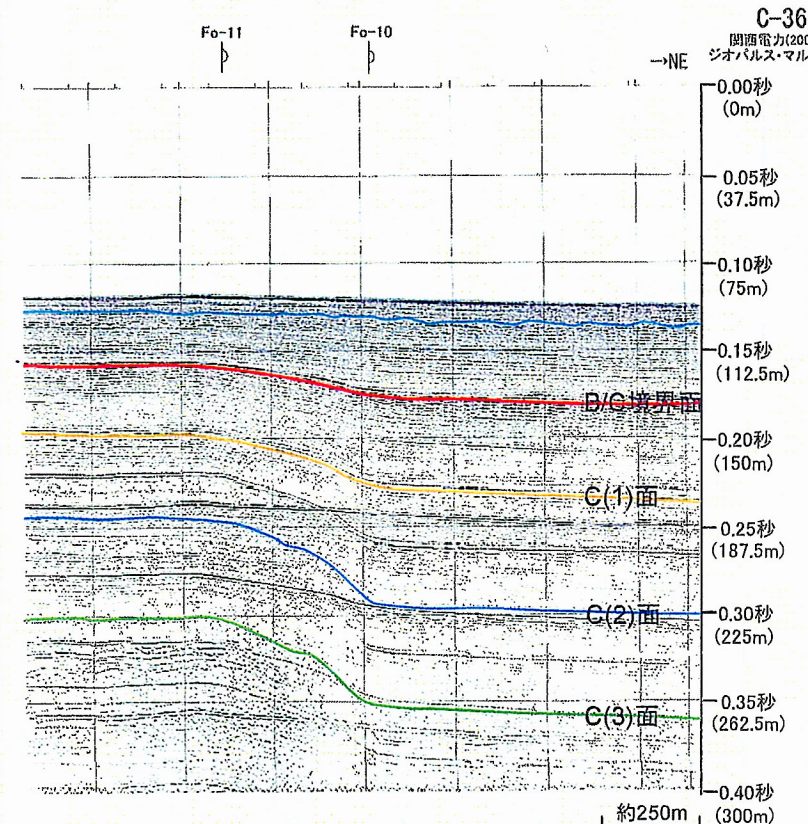
FO-A断層・FO-B断層の連続性



FO-A断層・FO-B断層の連続性



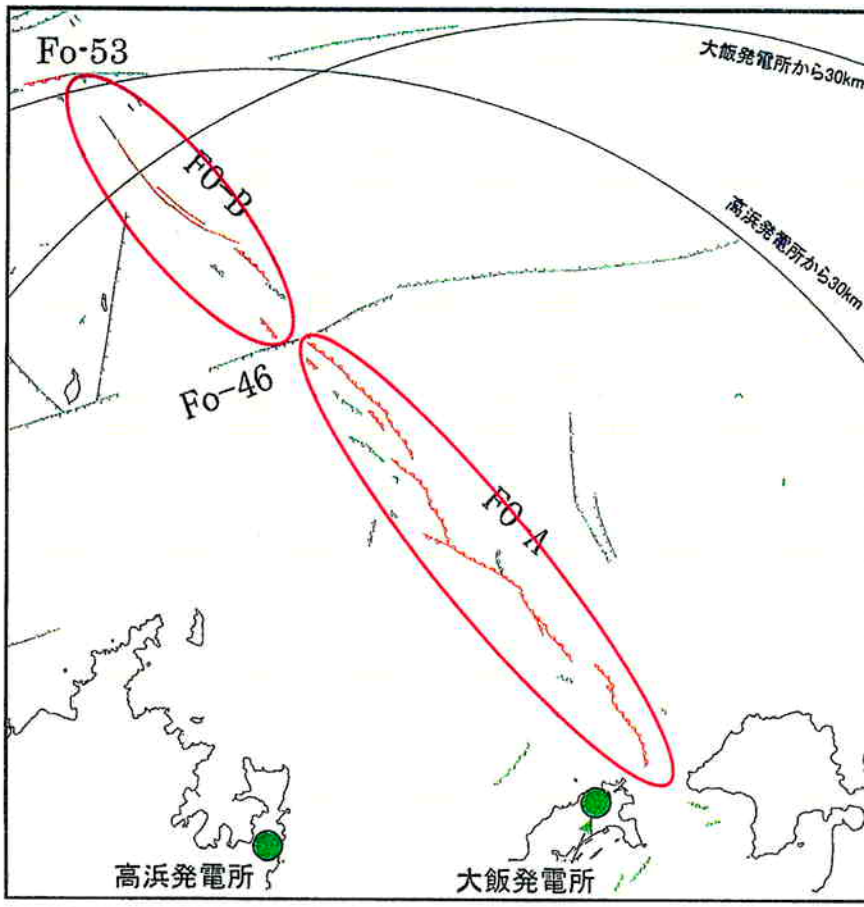
- : 後期更新世以降の活動が認められる断層及び構曲
- : 後期更新世以降の活動が認められない断層及び構曲



数字(角度)は水平・垂直比が1:1の傾斜角度

FO-A断層とFO-B断層は個別の断層として評価

FO-A断層, FO-B断層の当初の評価



赤い線 : 後期更新世以降の活動が認められる断層及び構曲
緑の線 : 後期更新世以降の活動が認められない断層及び構曲

断層の連続性

- 各断層の北端部、南端部では、後期更新世以降の地層に変位・変形が認められない。
- FO-A断層とFO-B断層の間には、古い断層Fo-46が連続的に分布し、堆積層の鉛直変位量も認められない。

断層の活動性

後期更新世以降の活動あり

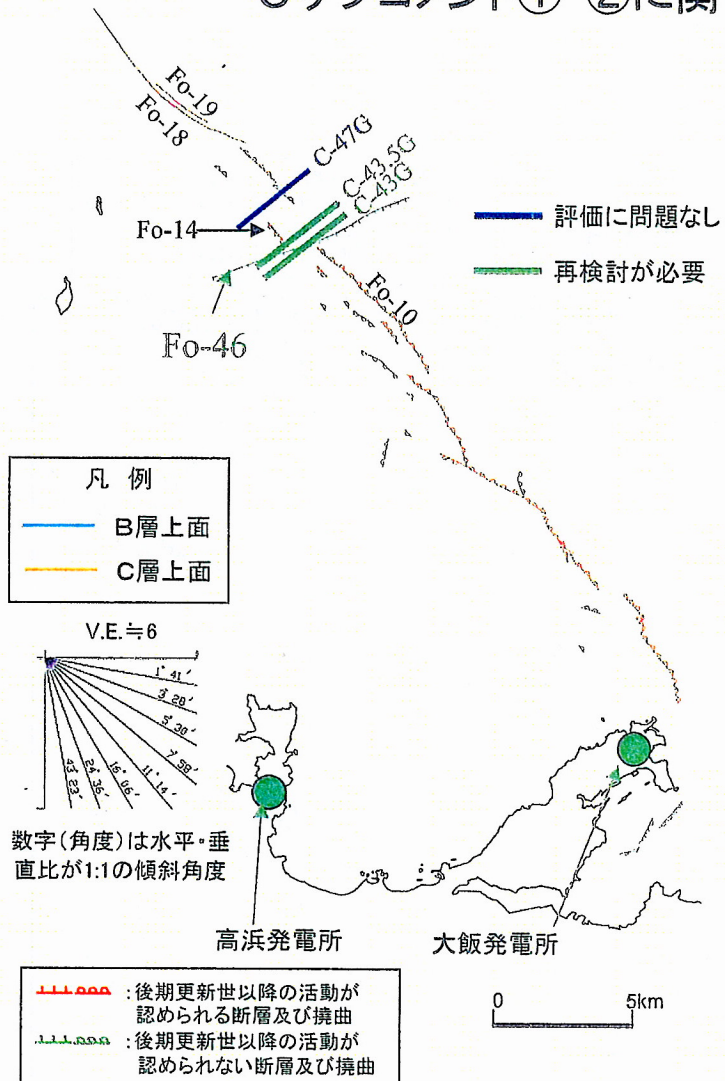
FO-A断層: 約23km
FO-B断層: 約12km

【Cサブコメント】

- 測線C-47GはB層以上に変位・変形が無いとしてもよい。しかし、測線C-43.5G(FO-B南端)、測線C-43G(FO-A北端)は、B層厚さ、断層下盤の堆積層上面勾配を基準とした場合、明らかに南西側が隆起し、Fo-10がFo-14に繋がっていると考えられる。
- 断層長さとしては、FO-A、FO-Bを個別の断層として評価してもよい。ただし、連動しないという考え方には無理がある。
- 保安院が実施した海上音波探査により、FO-B断層北西に位置するJNO-58測線の北東部及びJNO-59測線の東部のそれぞれ1箇所において後期更新世以降の地層に変形が認められる。

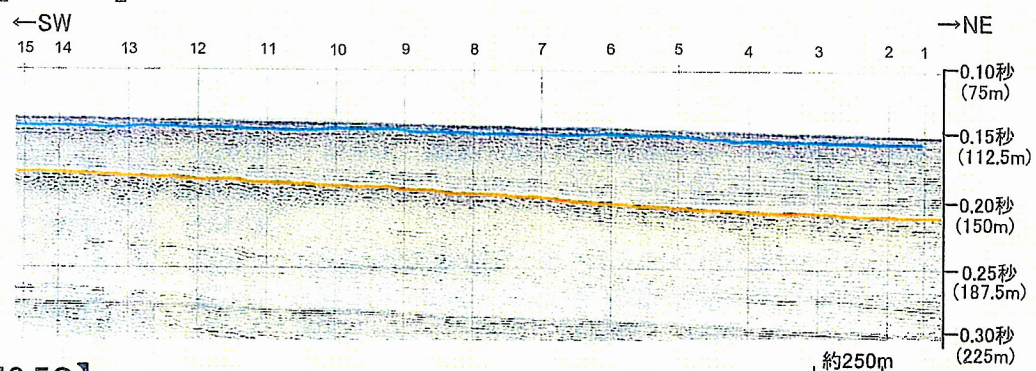
海上音波探査記録の再検討及び保安院の調査で認められた変形構造周辺の地質構造等の検討を実施

Cサブコメント①・②に関する検討(測線C-43G・43.5Gに関する再検討結果)

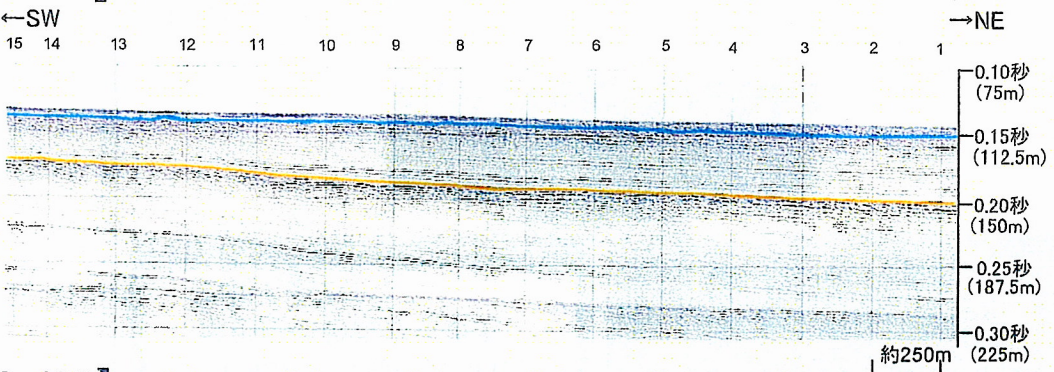


- ・測線C-43G, 43.5Gは、B層厚さ、断層下盤の堆積層上面勾配を基準とした場合、鉛直変位量は極めて小さいものの、相対的に南西側が隆起しているとも評価できるので、後期更新世以降の活動が認められるものとし、FO-A北端位置、FO-B南端位置を測線C-47Gに変更する。
- ・FO-A断層とFO-B断層の同時活動を考慮する。

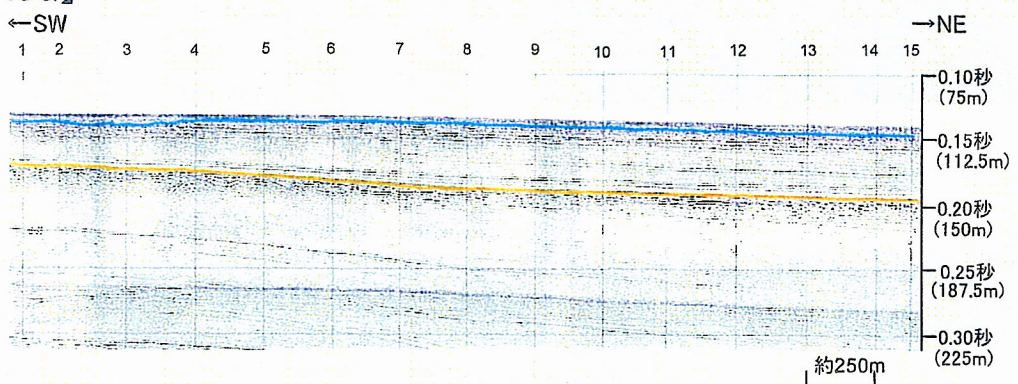
【C-47G】



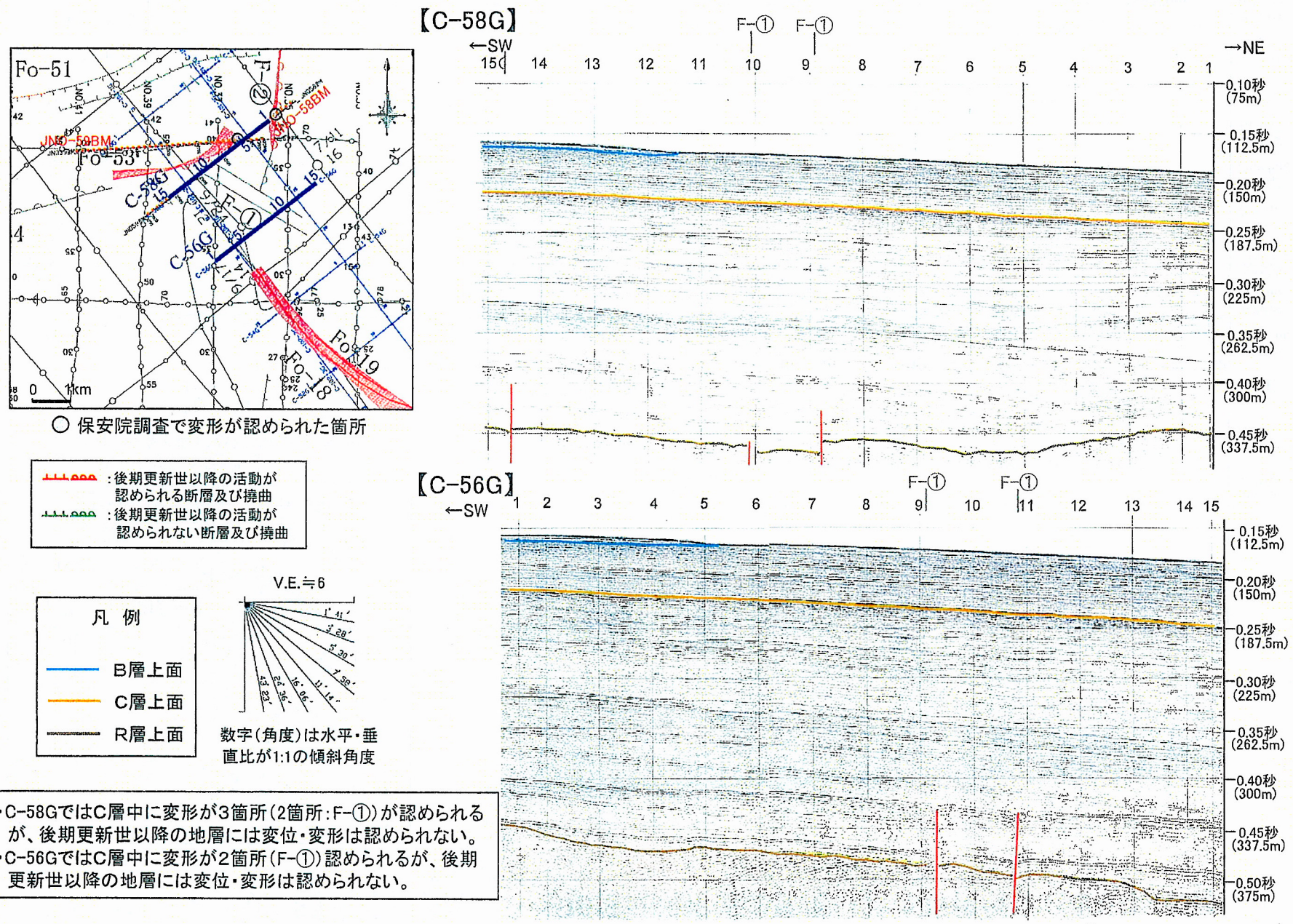
【C-43.5G】



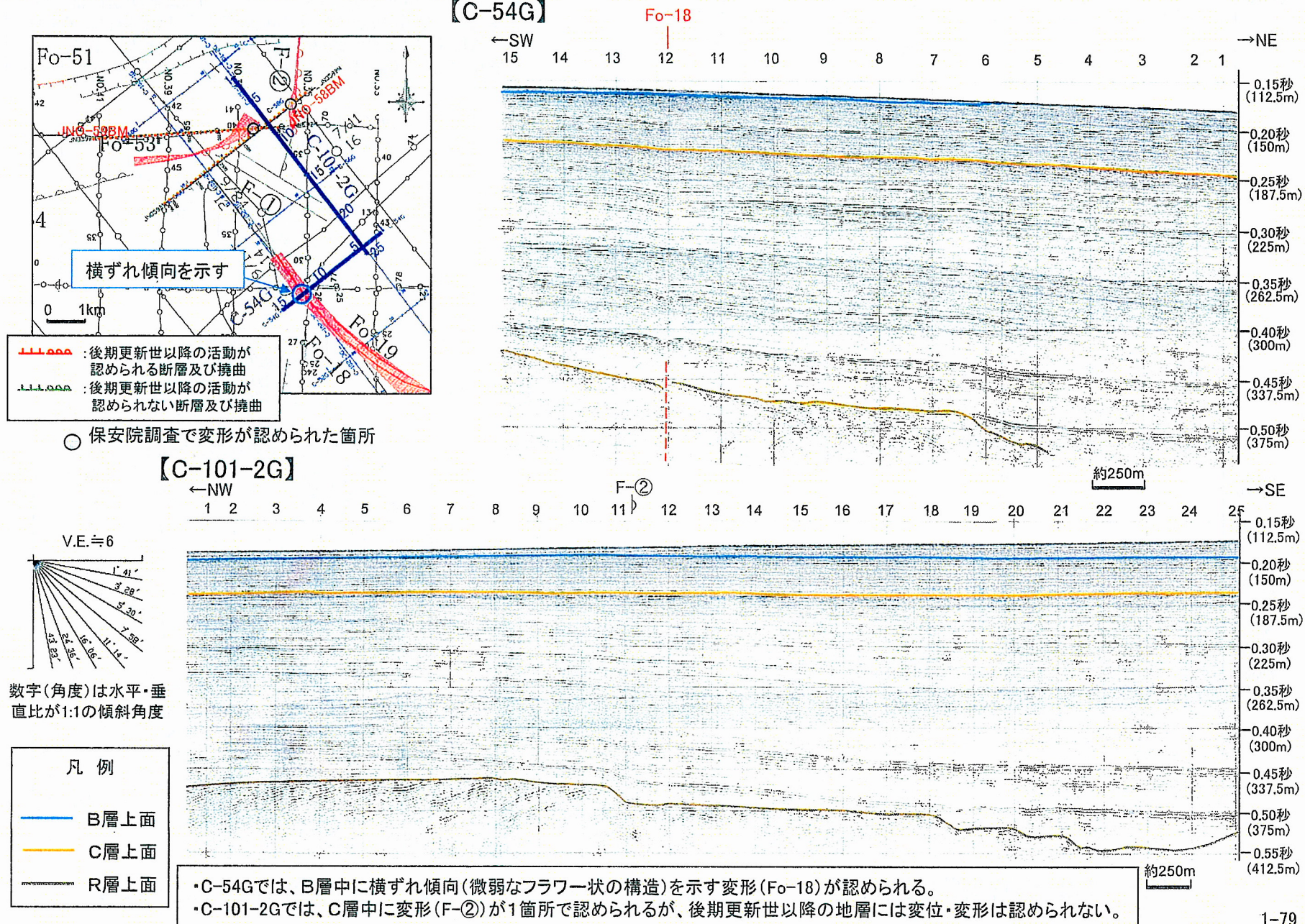
【C-43G】



Cサブコメント③に関する検討(FO-B断層北端付近の音波探査記録(C-58G・C-56G))

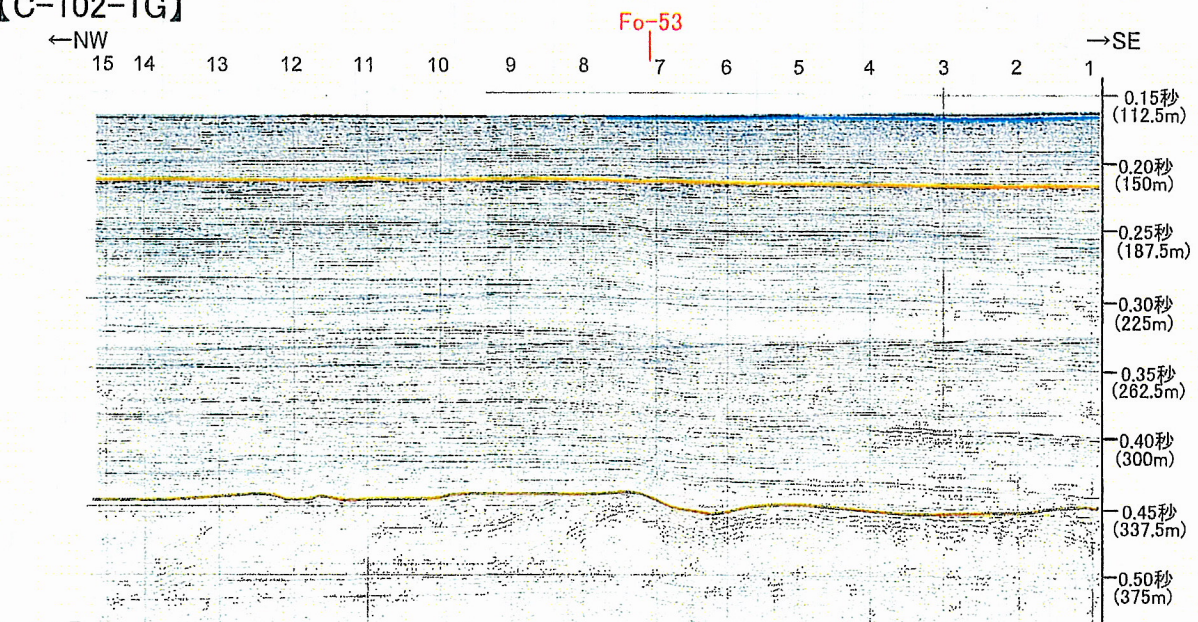
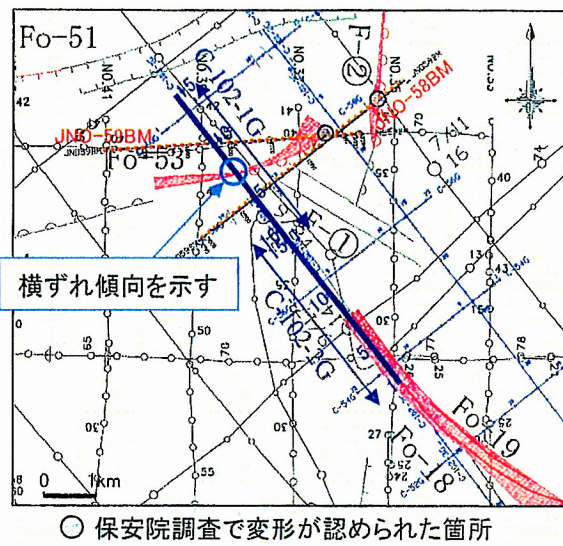


Cサブメント③に関する検討(FO-B断層北端付近の断層分布の再検討(C-54G・C-101-2G))

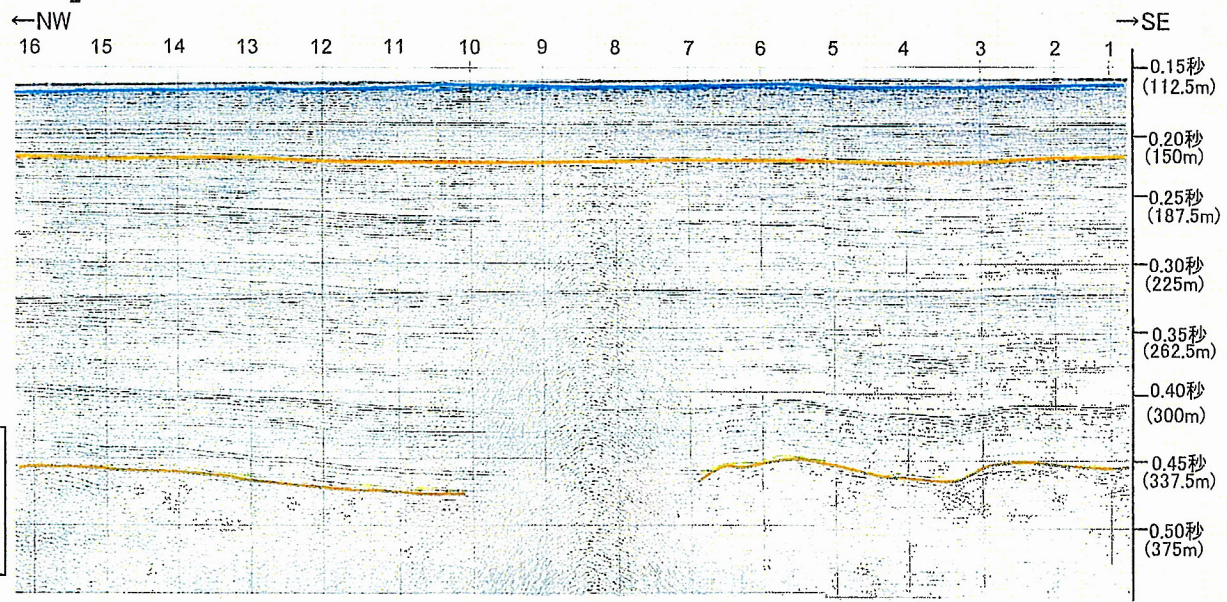


Cサブコメント③に関する検討(FO-B断層北端付近の断層分布の再検討(C-102-1G・C-102-2G))

【C-102-1G】



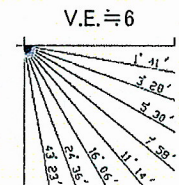
【C-102-2G】



- ・C-102-1GではB層中に横ずれ傾向(微弱なフラー状の構造)を示す変形(Fo-53)が認められる。
- ・C-102-2Gでは、後期更新世以降の地層に変位・変形は認められない。

凡例

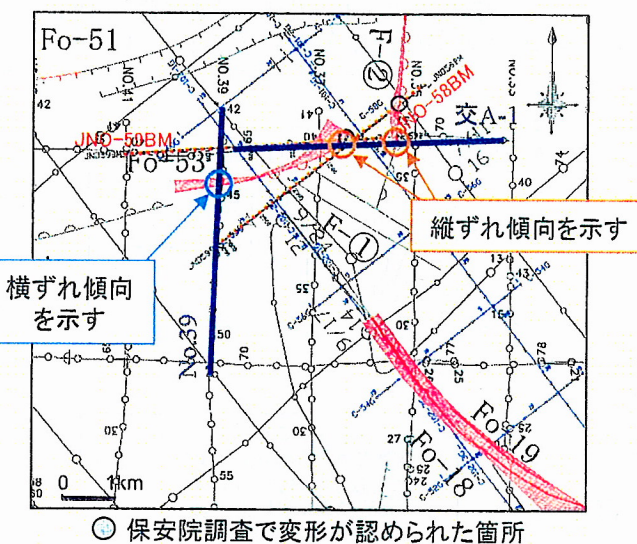
- B層上面
- C層上面
- R層上面



数字(角度)は水平・垂直比が1:1の傾斜角度

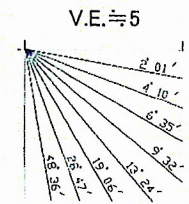
Cサブコメント③に関する検討(FO-B断層北端付近の断層分布の再検討(海保交A-1・No.39))

【海保交A-1】



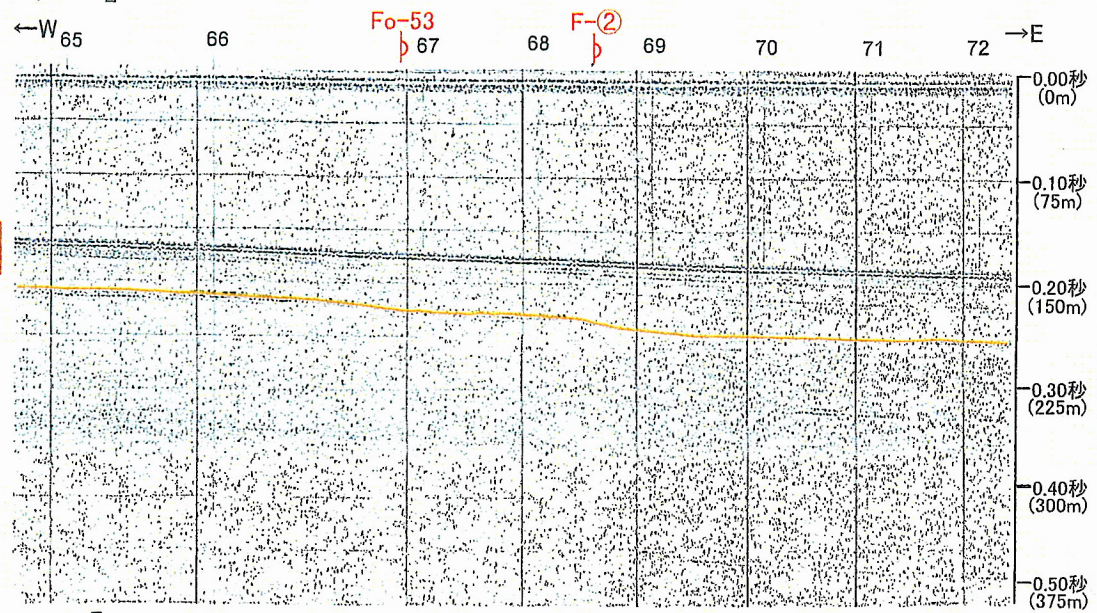
：後期更新世以降の活動が認められる断層及び撓曲
：後期更新世以降の活動が認められない断層及び撓曲

凡例
— C層上面

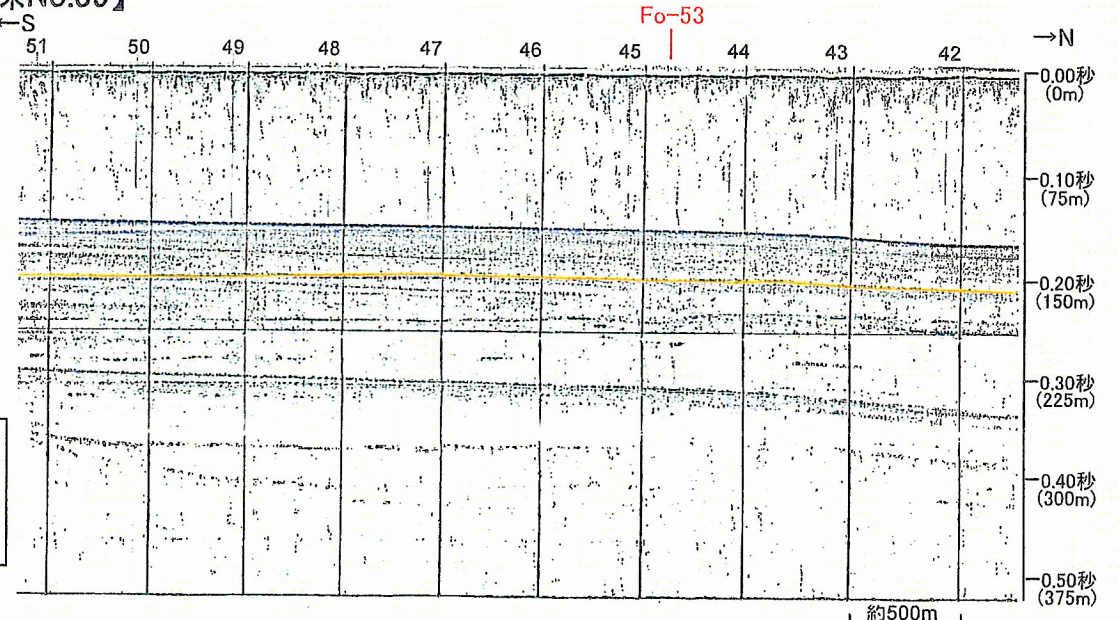


数字(角度)は水平・垂直比が1:1の傾斜角度

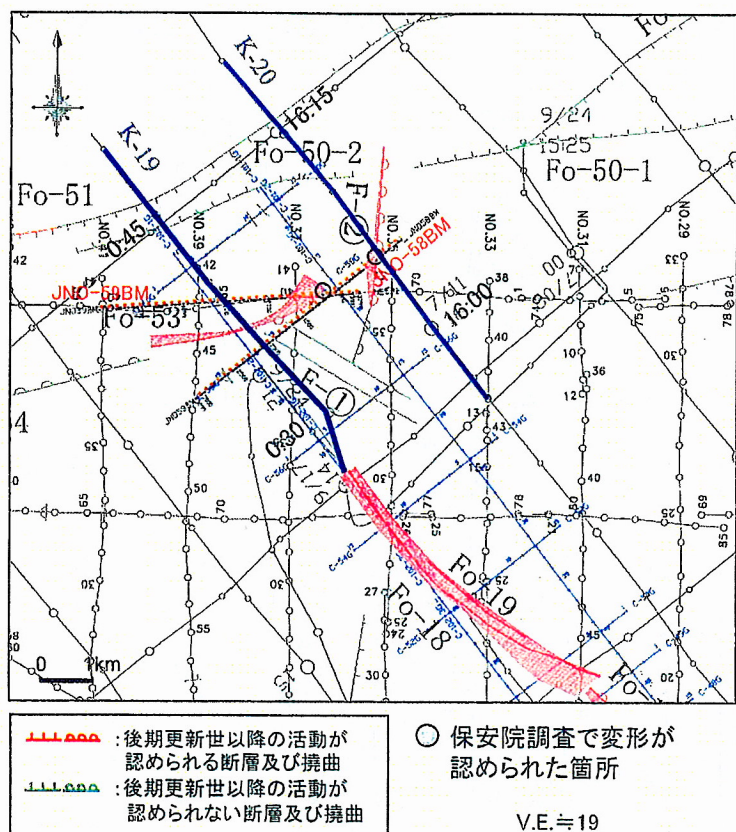
- ・海保交A-1では、B層基底面に縦ずれ傾向(西側隆起)を示す変形(F-②、Fo-53)が認められる。
- ・海保No.39では、B層基底面に横ずれ傾向(微弱なフラー状の構造)を示す変形(Fo-53)が認められる。



【海保No.39】



Cサブコメント③に関する検討(FO-B断層北端付近の断層分布の再検討(地調エアガンK-19・K-20))



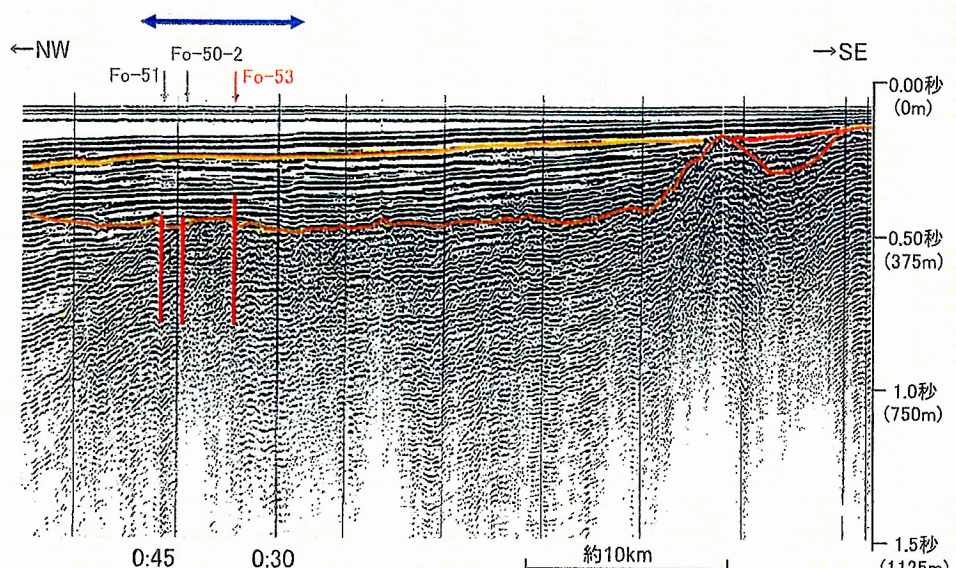
凡例

- C層上面
- R層上面

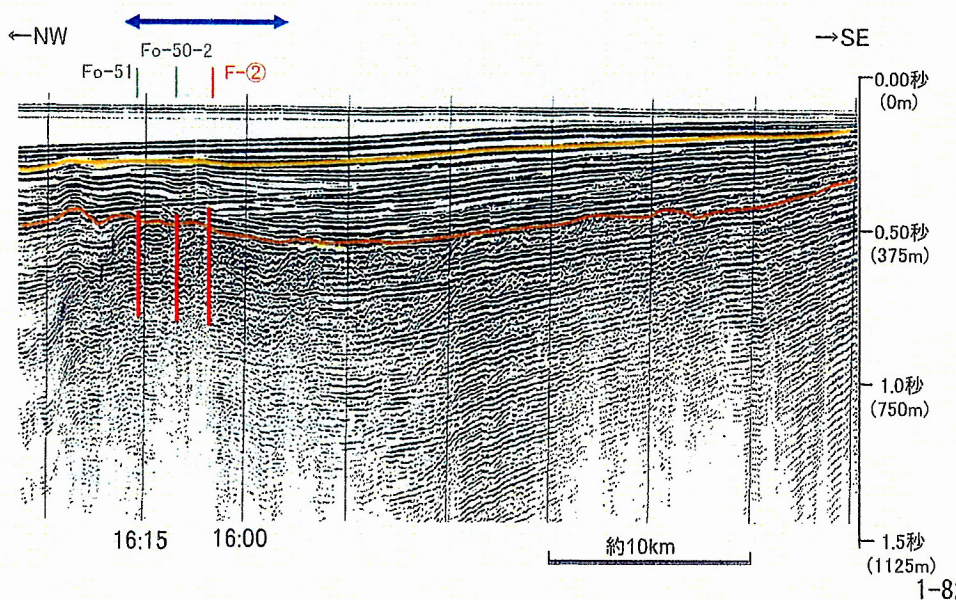
数字(角度)は水平・垂直比が1:1の傾斜角度

- ・地調エアガンK-19では、B層基底面に変形(Fo-53)、C層中に変位・変形(Fo-51, Fo-50-2)が認められる。
- ・地調エアガンK-20では、B層基底面に変形(F-②)、C層中に変位・変形(Fo-51, Fo-50-2)が認められる。

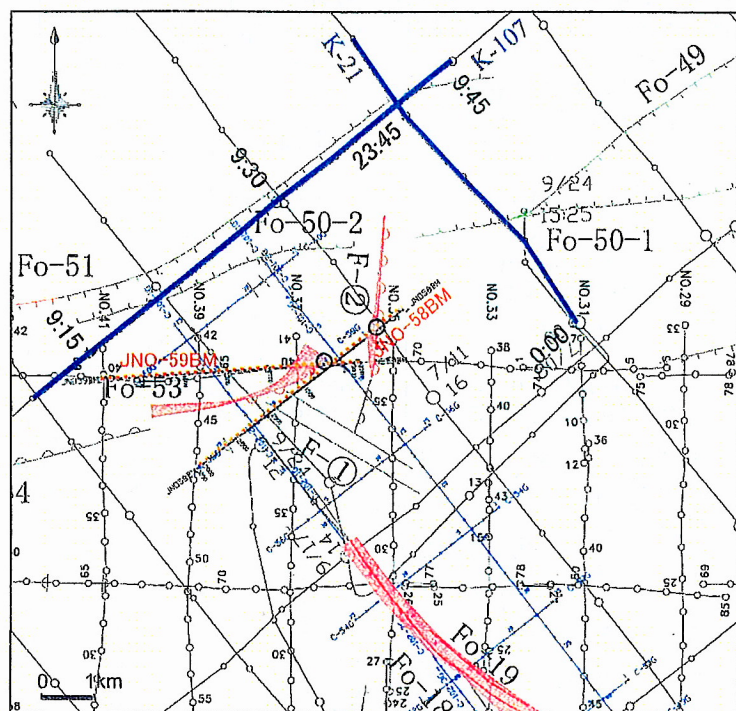
【地調エアガンK-19】



【地調エアガンK-20】

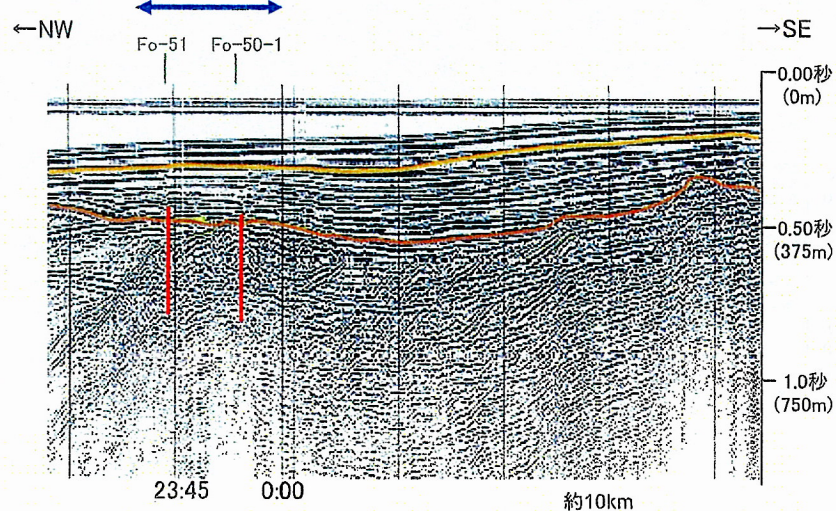


Cサブコメント③に関する検討(FO-B断層北端付近の断層分布の再検討(地調エアガンK-21・K-107))

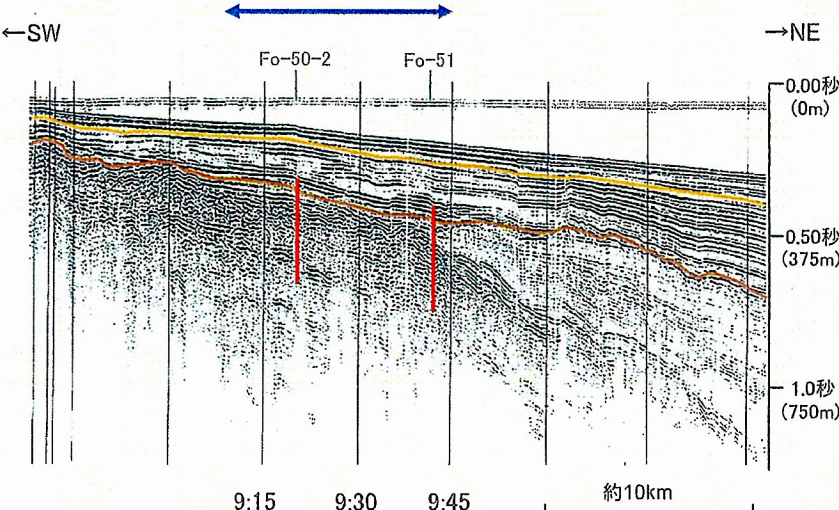


- 地調エアガンK-21では、C層中の断層(Fo-50-1、Fo-51)が認められる。
- 地調エアガンK-107では、C層中の断層(Fo-50-2、Fo-51)が認められる。

【地調エアガンK-21】



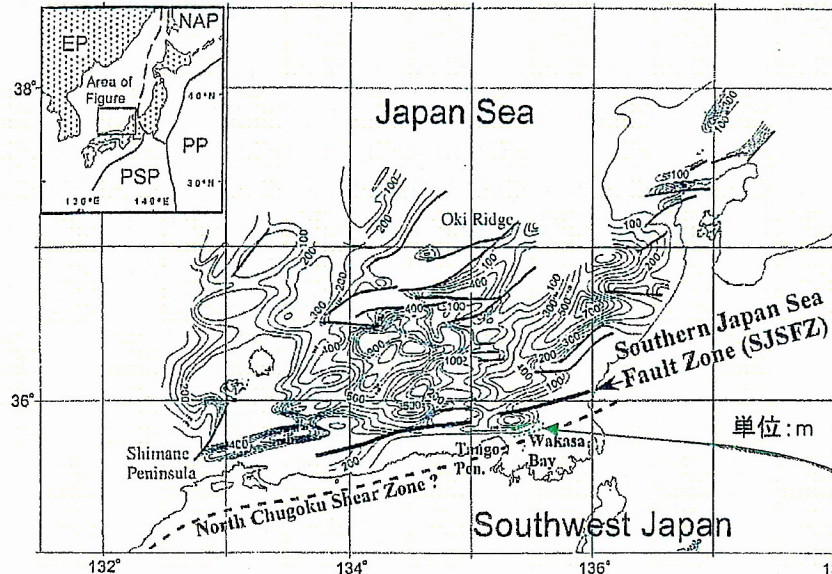
【地調エアガンK-107】



Cサブコメント③に関する検討(FO-B断層北端位置に関する再検討)

1. 断層配列と断層運動からの検討

【文献1】



日本海南部周辺の前期鮮新世地層の等層厚線図(Itoh,et.al(2002)に加筆)

若狭湾沖には、文献1及び文献2により東西方向の断層及び褶曲が示されており、FO-B断層北端付近の断層は、これらの断層・褶曲に沿って分布している。

FO-B断層北端付近の断層は、文献1が「SJSFZ」に対して記載しているのと同様に、走向と広域応力場との関係から右横ずれ断層と考えられる。

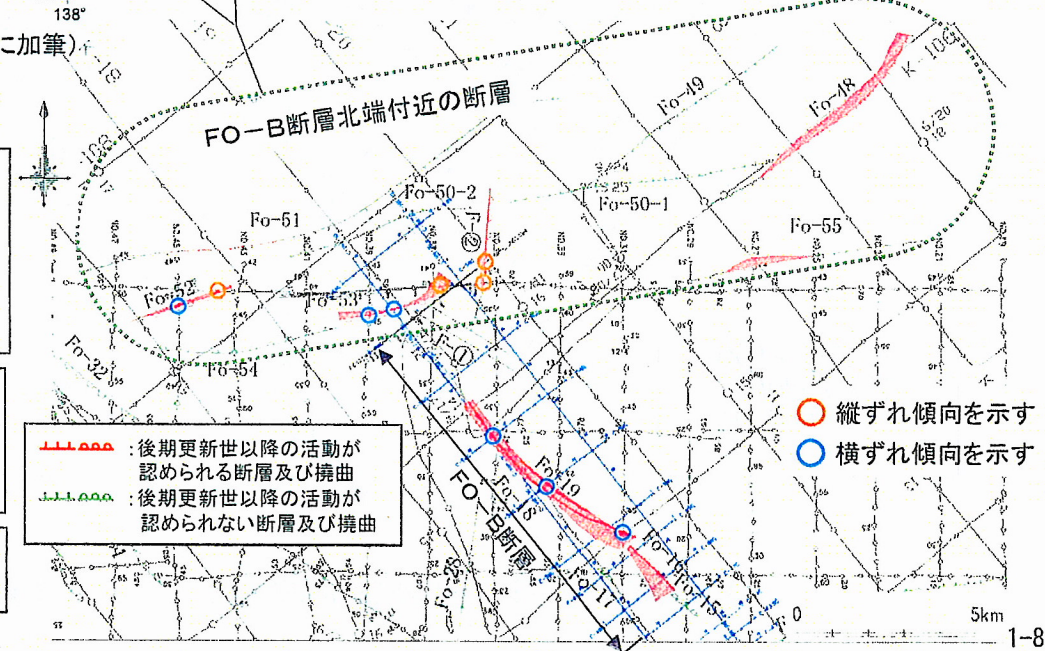
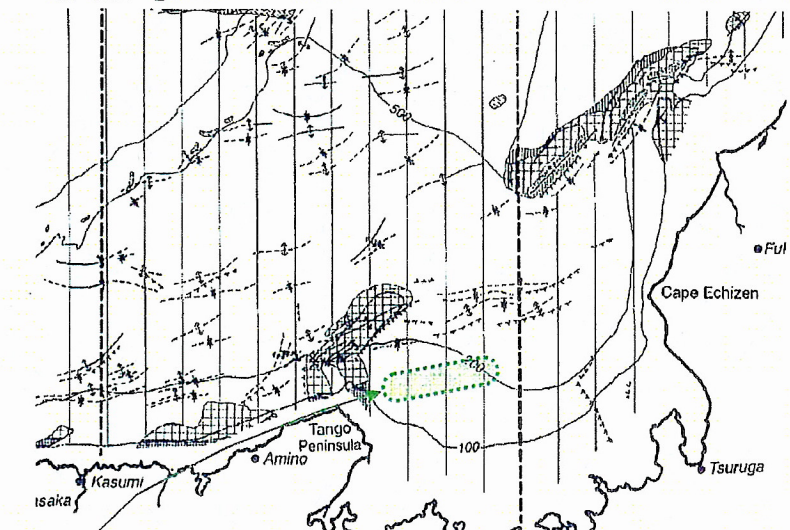
FO-B: 横ずれ傾向を示す

Fo-53 : 横ずれ→縦ずれ傾向を示す

F-(2) : 縦ずれ傾向を示し、後期更新世以降の活動が認められる区間は概ねFo-53以北

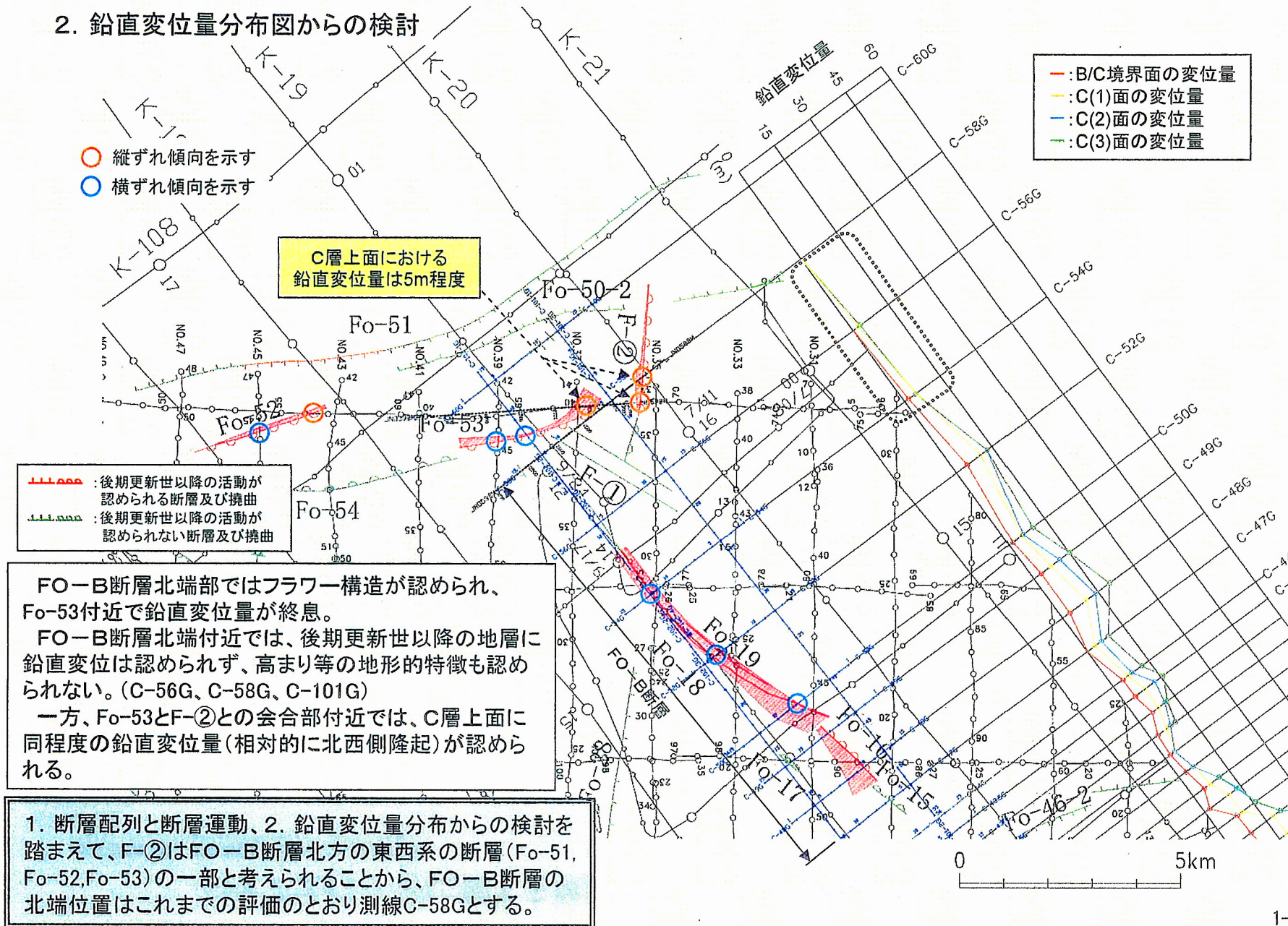
近畿地方の陸域断層の事例では、FO-B断層とF-(2)と同様の断層配列で同時活動を考慮する断層は認められない。

【文献2】

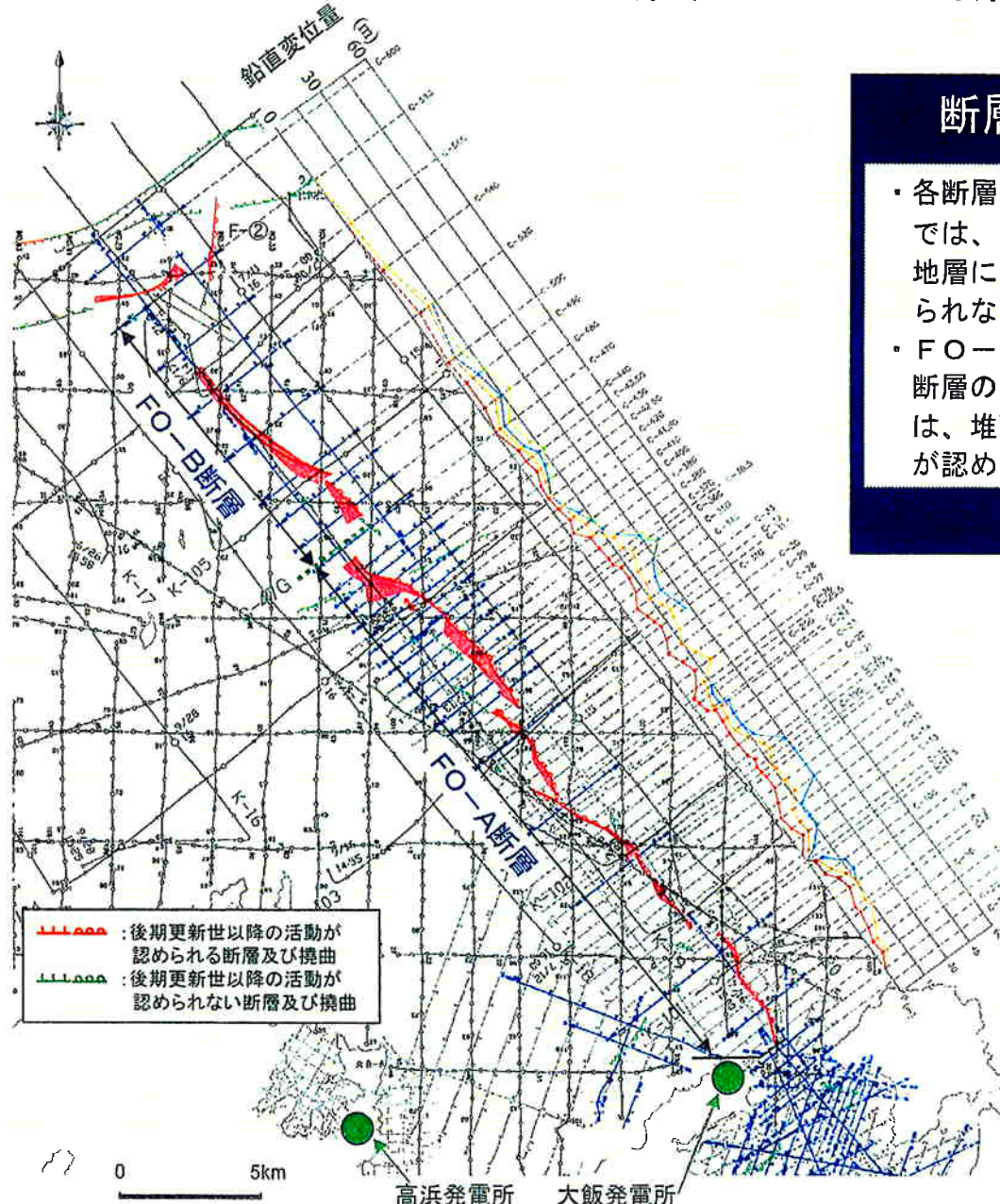


Cサブコメント③に関する検討(FO-B断層北端位置に関する再検討)

2. 鉛直変位量分布図からの検討



FO-A断層, FO-B断層の評価の変更



断層の連続性

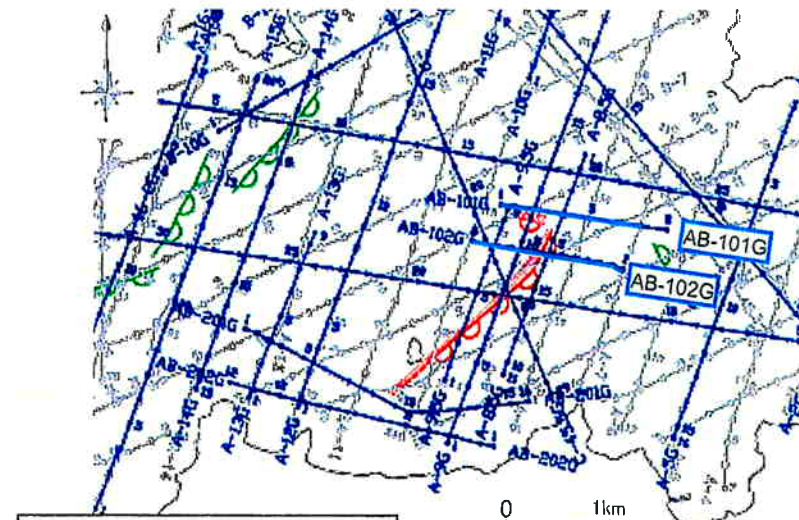
- 各断層の北端部、南端部では、後期更新世以降の地層に変位・変形が認められない。
- FO-A断層とFO-B断層の間の測線C-47Gには、堆積層の鉛直変位量が認められない。

断層の活動性

後期更新世以降の活動あり

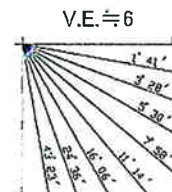
- FO-A断層: 約24km
FO-B断層: 約11km
両断層の同時活動を考慮

FO-C断層に関する調査結果



----:後期更新世以降の活動が
認められる断層及び構造
----:後期更新世以降の活動が
認められない断層及び構造

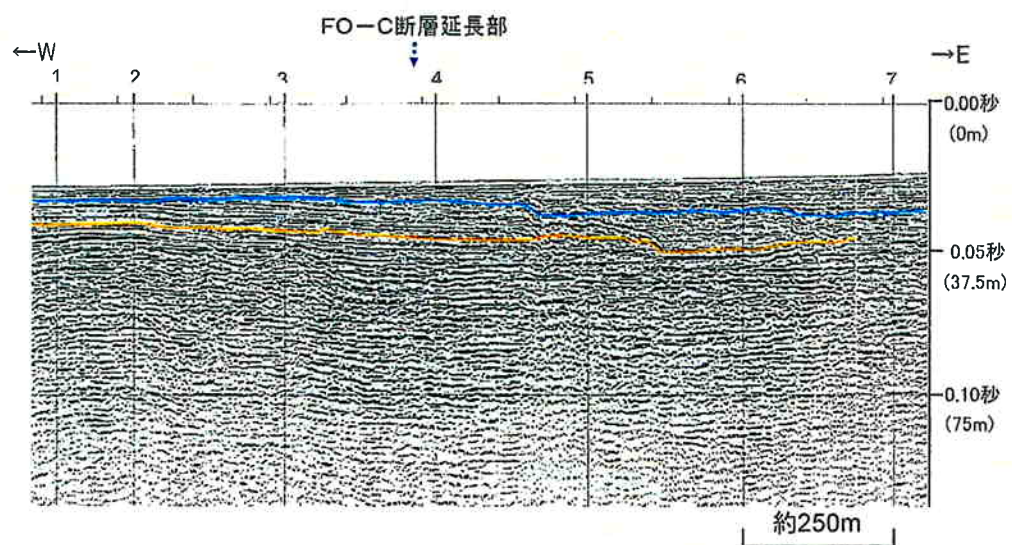
凡 例
— B層上面
— C層上面



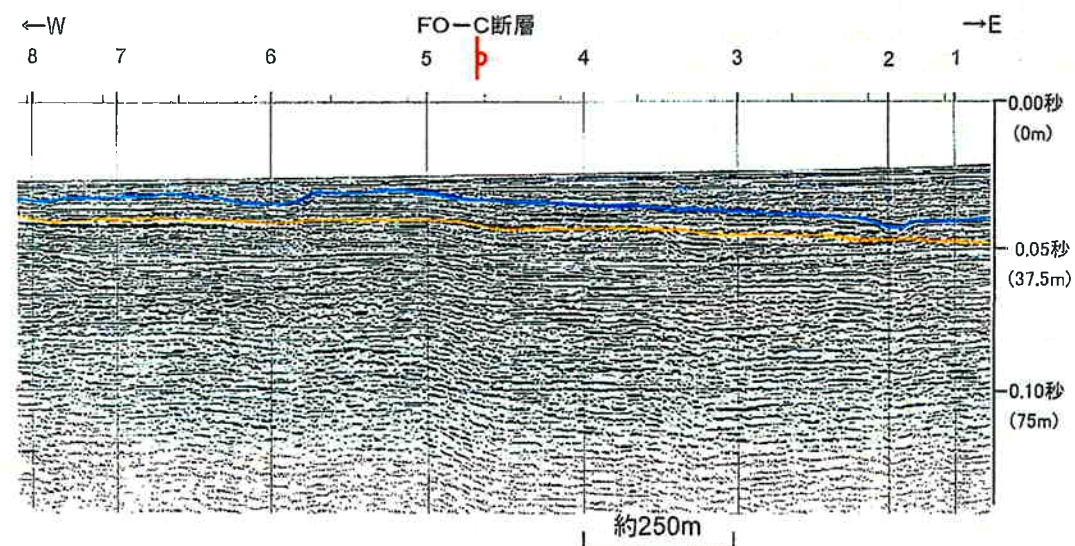
数字(角度)は水平・垂
直比が1:1の傾斜角度

断層の北端部(測線AB-101G)には、
後期更新世以降の地層に断層による
変位・変形は認められない。

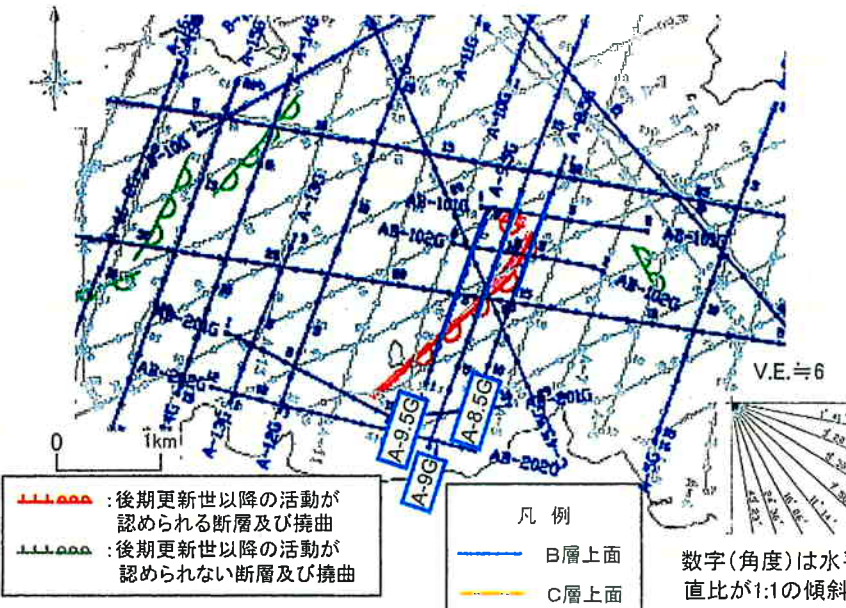
【AB-101G】



【AB-102G】

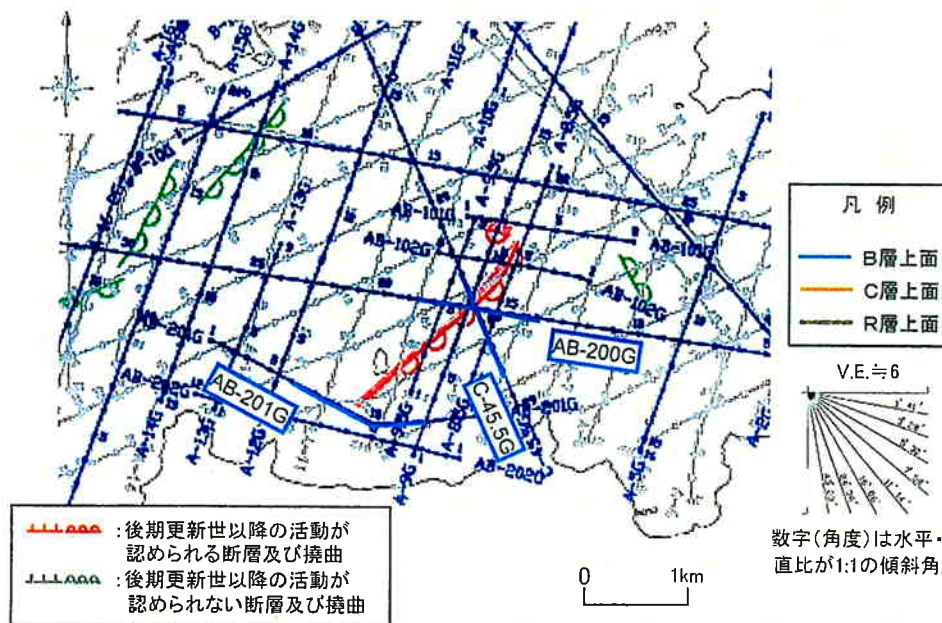


FO-C断層に関する調査結果

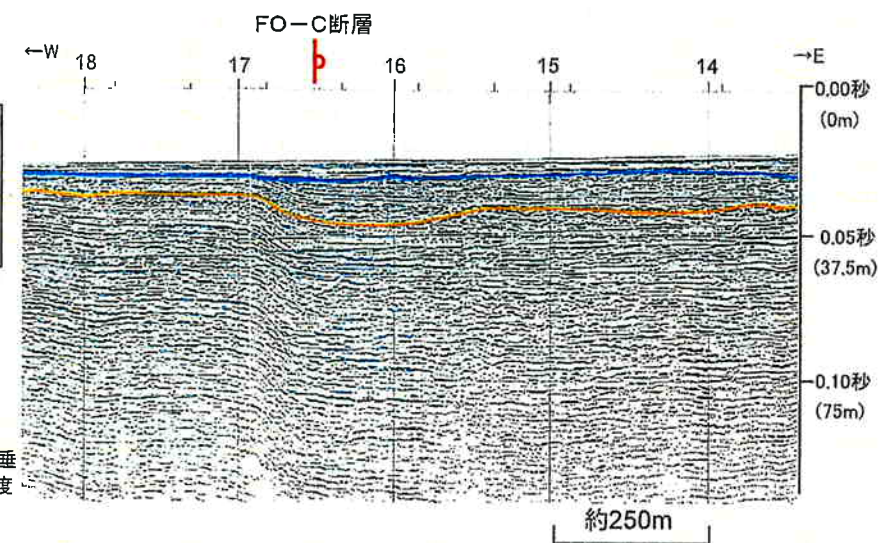


測線A-9G、A-9.5Gに認められるFO-C断層以外には、後期更新世以降の地層には断層による変位・変形は認められない。

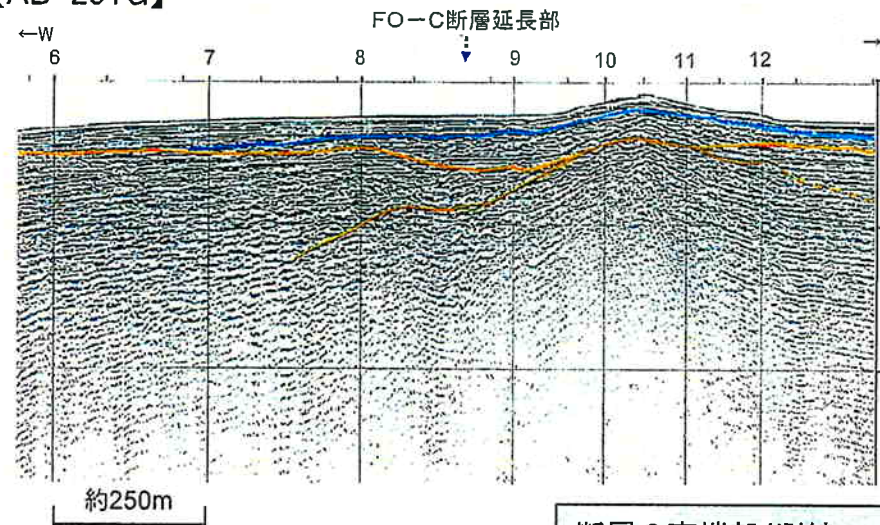
FO-C断層に関する調査結果



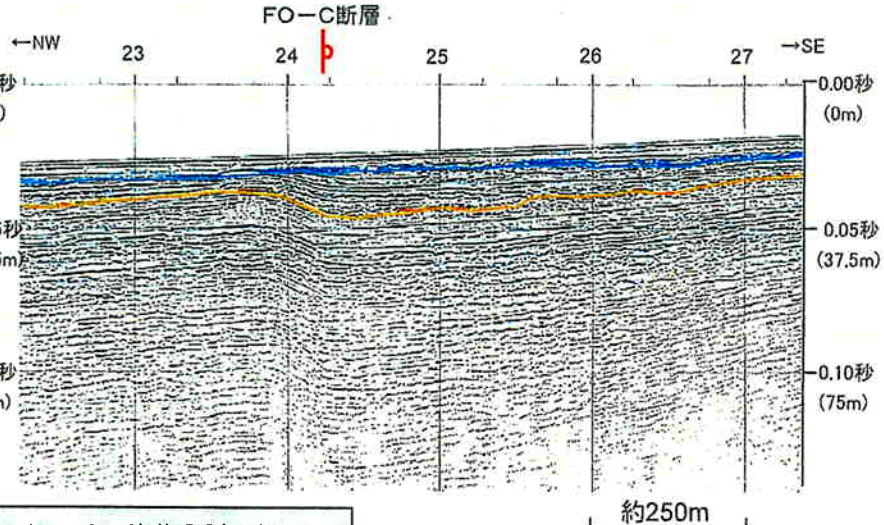
【AB-200G】



【AB-201G】

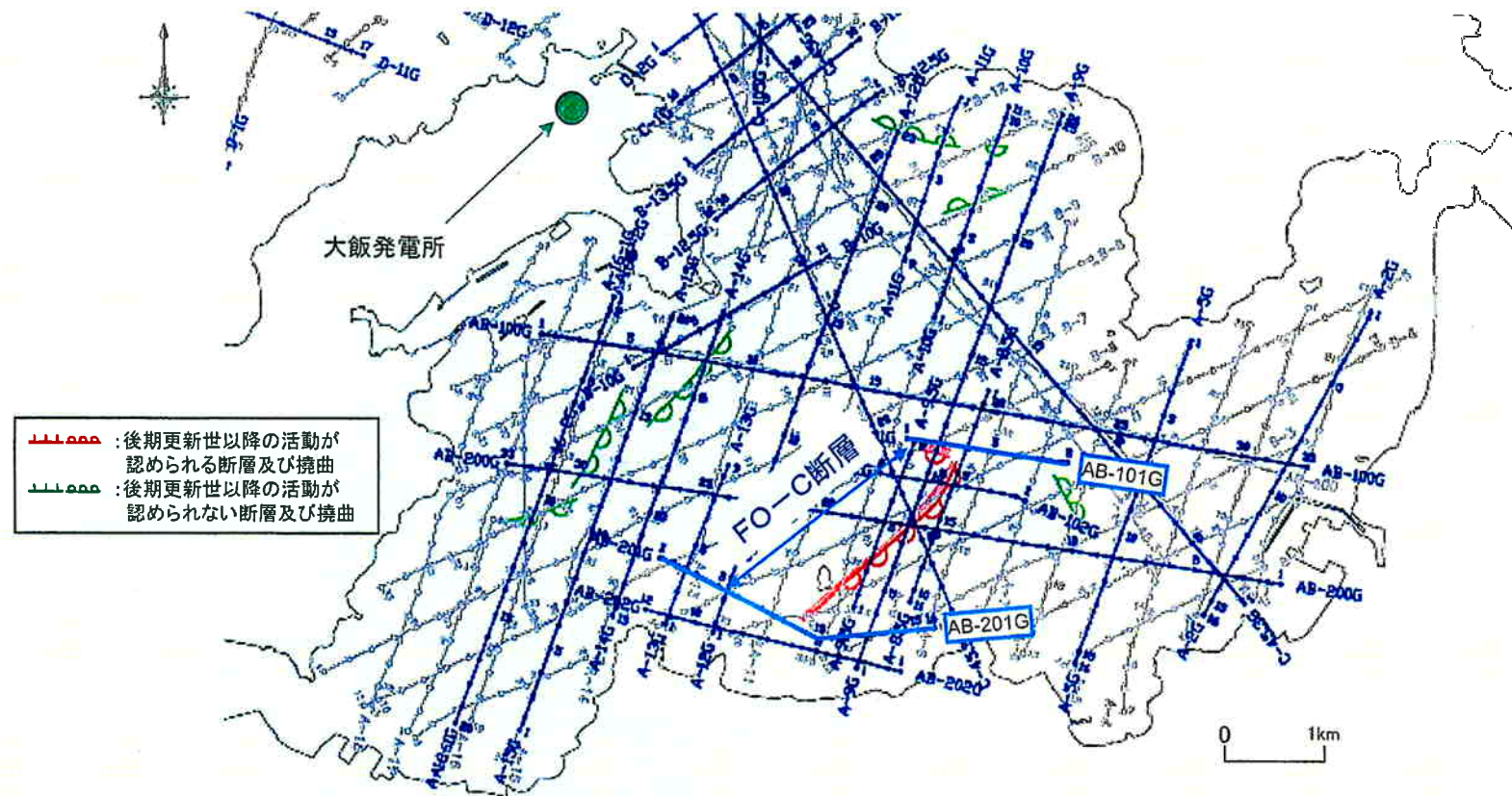


【C-45.5G】



断層の南端部(測線AB-201G)には、後期更新世以降の地層に断層による変位・変形は認められない。

FO-C断層の評価



断層の連続性

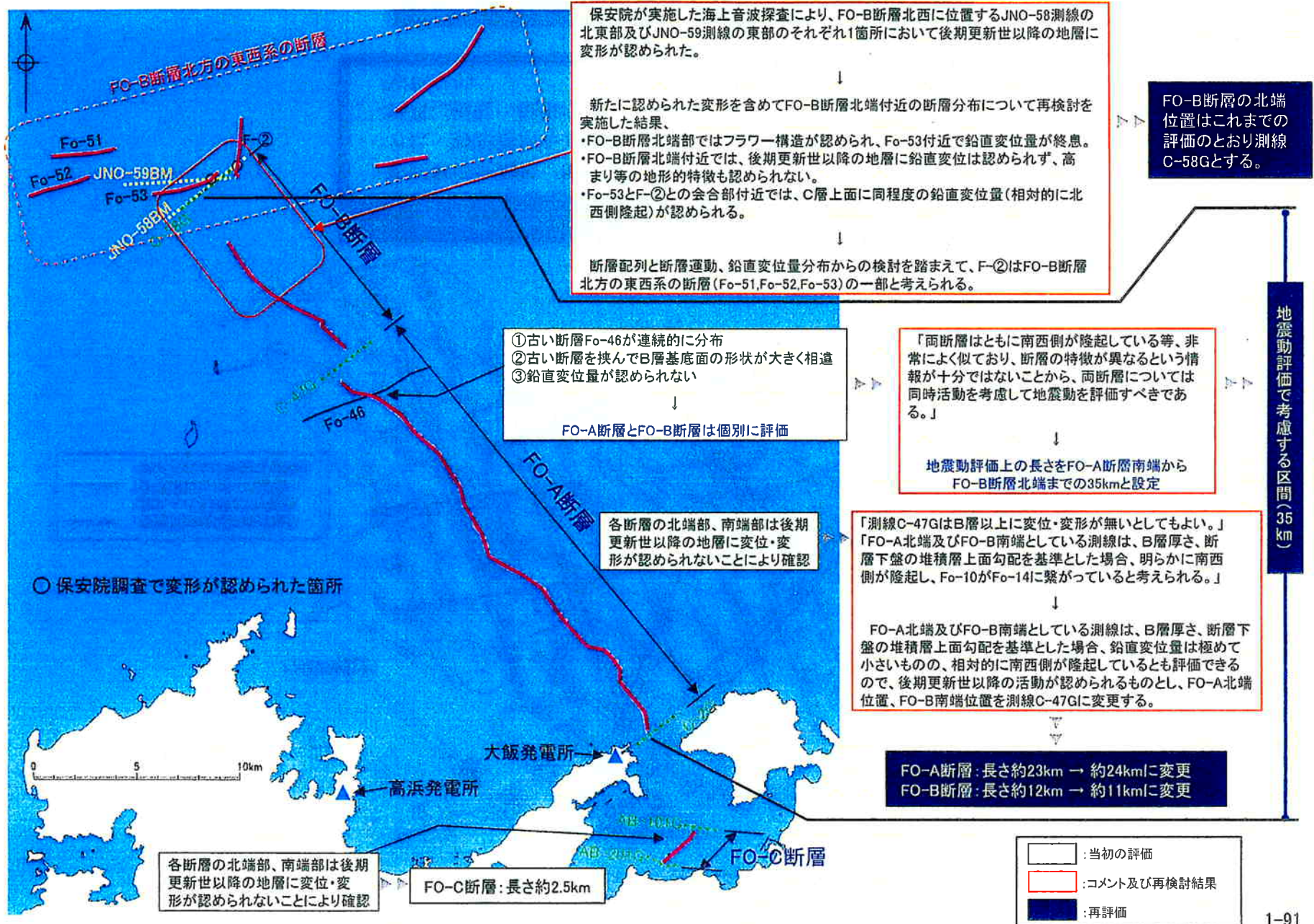
各断層の北端部、南端部では、後期更新世以降の地層に変位・変形が認められない。

断層の活動性

後期更新世以降の活動あり

- FO-C断層:約2.5km
- 地震動評価では、孤立した短い活断層として評価

FO-A断層～FO-B断層, FO-C断層の評価の概要



2-6 活断層の傾斜角

傾斜角の設定に関して

【地震調査研究推進本部における傾斜角の設定】※

- ・傾斜角に関する資料が得られていない場合は、
 - 逆断層、正断層 : 45°
 - 横ずれ断層 : 90°
- ・断層の傾斜角を推定できる場合には、それを参照する。
- ・周辺にある同タイプの断層から傾斜角が推定できる場合には、それを参照する。
- ・周辺の地質構造、特に活断層の分布を考慮し、その周辺の地質構造が説明できるように留意し、「低角」の場合は0°～30°、「高角」の場合は60°～90°の範囲内で設定。

※ 地震調査研究推進本部 地震調査委員会(2008年4月11日更新)：震源断層を特定した地震の強震動予測手法(「レシピ」)

【地形・地質調査データ】

(陸域)

- ・地形状況、断層分布、地質構造(断層露頭での傾斜角等)の確認。

(海域)

- ・海上音波探査記録(できる限り深部を確認できるもの)の確認。
- ・地形状況、断層分布、地質構造の確認。

地形・地質調査データから考えられる傾斜角を整理し、
地震動評価における傾斜角を設定

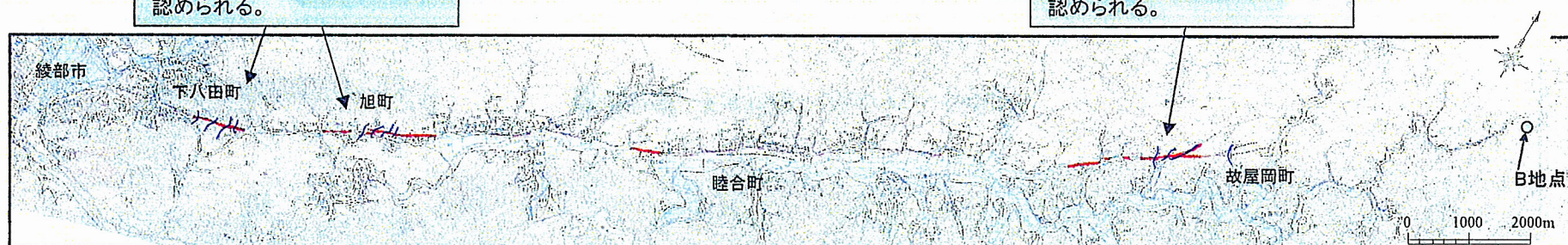
上林川断層の傾斜角



河谷に系統的な右ずれ屈曲が認められる。

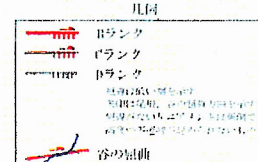
上林川断層周辺の地質図

河谷に系統的な右ずれ屈曲が認められる。



上林川断層の変動地形・リニアメント分布図

th1 高位丘陵面	tl 須佐丘陵面
th2 高位丘陵面	dt 岩場
th3t 高位丘陵面古削面	at1 最高位丘陵(定削面)
tm1 中位丘陵面	adt 古削面削面
tm2 中位丘陵面	a 沖積低地
tmft 中位丘陵面古削面	R 大理岩切土

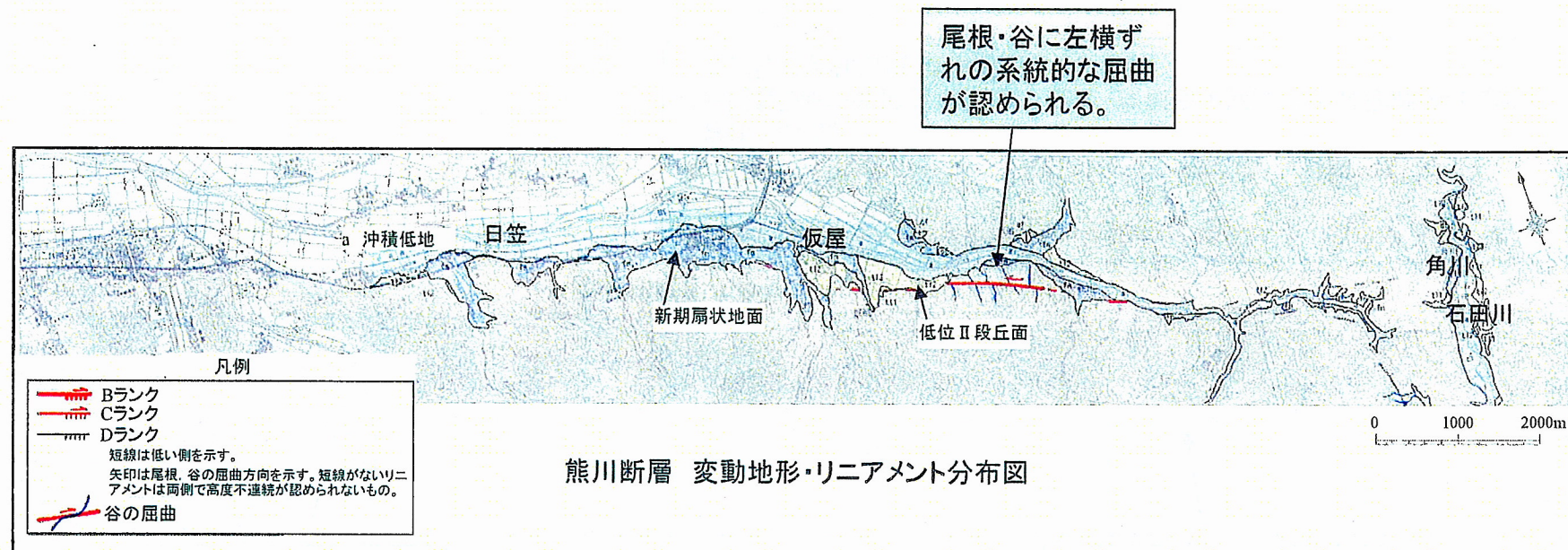


- 明瞭な変動地形(河谷の系統的右屈曲)が認められ、断層線は高い直線性を有する。
- 産総研「活断層データベース」において、右横ずれ・一般傾斜90°とされている。
- 地震調査研究推進本部は、「三峠・京都西山断層帯の長期評価」において、右横ずれ断層・高角度としている。

走向と広域応力場との関係や調査結果から、上林川断層の断層傾斜角はほぼ鉛直(90°)と評価。

地震動評価においては、鉛直の横ずれ断層として設定

熊川断層の傾斜角

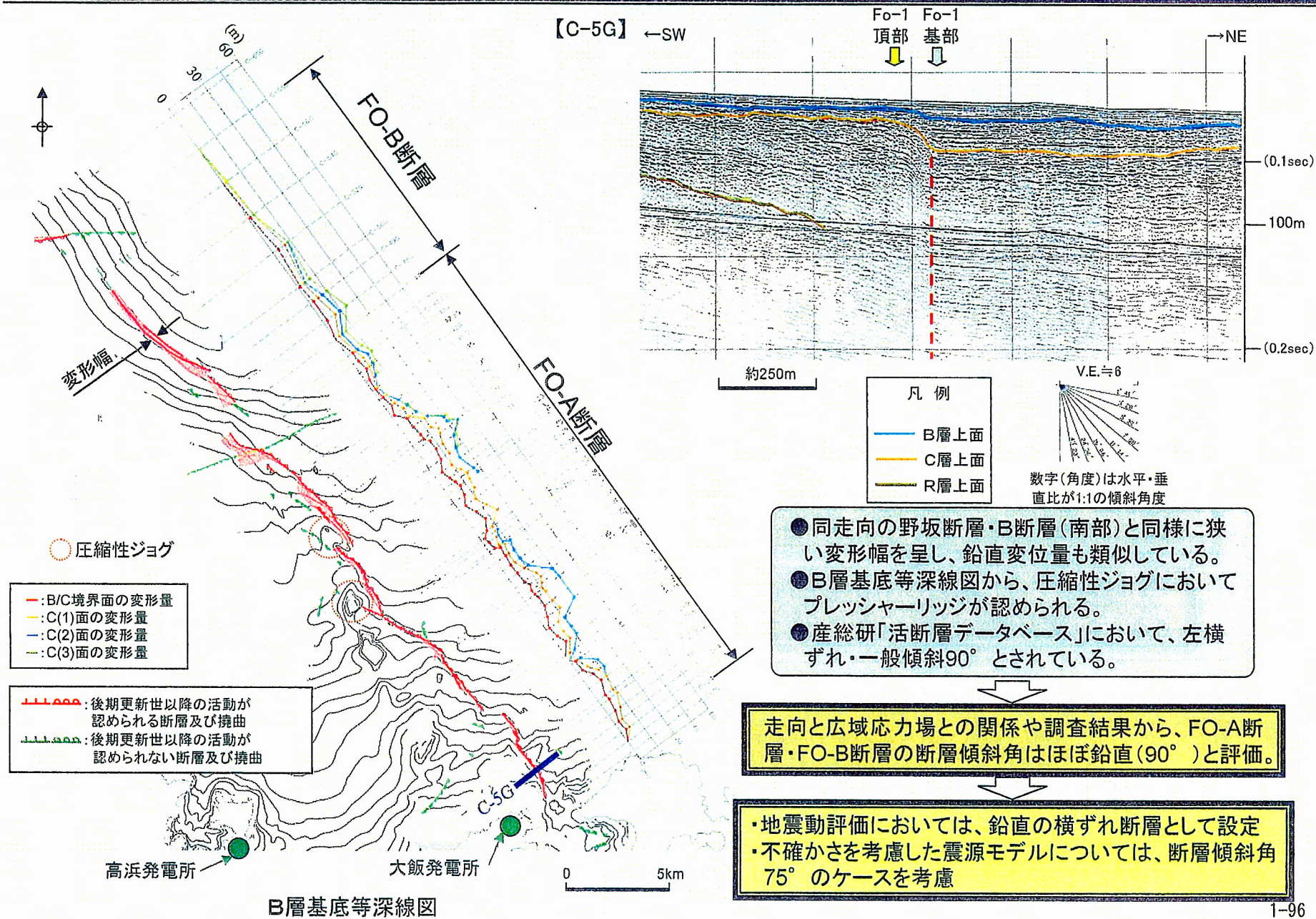


- 明瞭な変動地形(尾根・谷に系統的左屈曲)が認められる。
- 既往文献には、いずれも左ずれの記載がある。
 - ・新編 日本の活断層(1991)：左横ずれ、南側隆起
 - ・近畿の活断層(2000)：左横ずれ
 - ・活断層詳細デジタルマップ(2002)：左横ずれ、南側隆起
- 産総研「活断層データベース」において、左横ずれ・一般傾斜90°とされている。

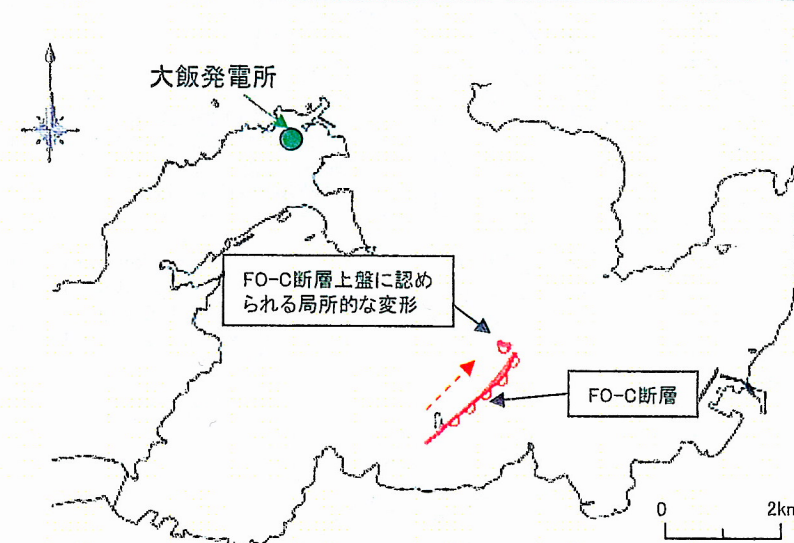
走向と広域応力場との関係や調査結果から、熊川断層の断層傾斜角はほぼ鉛直(90°)と評価する。

地震動評価においては、鉛直の横ずれ断層として設定

FO-A～FO-B断層の傾斜角



FO-C断層の傾斜角



- FO-C断層の北東延長方向及び南西延長方向には丹波帯が分布するから、上林川断層と同様に中・古生代堆積岩中の断層と考えられる。
- 右横ずれ断層の上林川断層と類似した走向を呈する。
- 海上音波探査結果では変形幅の狭い断層を確認。また、FO-C断層北端付近の断層上盤に右横ずれ断層の末端性状を示唆する局所的な変形が認められる。

走向と広域応力場との関係や調査結果から、FO-C断層の断層傾斜角はほぼ鉛直(90°)と評価する。

- ・地震動評価においては、鉛直の横ずれ断層として設定
- ・不確かさを考慮した震源モデルについては、断層傾斜角 75° のケースを考慮

